

PROJEKT BUDOWLANY - WYKONAWCZY

DLA ZADANIA:



Opracowanie dokumentacji projektowej i kosztorysowej rewaloryzacji Rynku II w Łęcznej z przyległymi ulicami w ramach rewitalizacji Starego Miasta w Łęcznej

OBLICZENIA STATYCZNO-WYTRZYMAŁOŚCIOWE BUDOWA KŁADKI DLA PIESZYCH

KODY CPV: 45100000-8 Przygotowanie terenu pod budowę
45200000-9 Roboty budowlane w zakresie wznoszenia kompletnych obiektów budowlanych lub ich części oraz w zakresie inżynierii lądowej i wodnej
45400000-1 Roboty wykończeniowe w zakresie obiektów budowlanych

OBIEKT Rynek II w m. Łęczna
ADRES: 21-010 Łęczna

OBIEKT POŁOŻONY NA DZIAŁKACH O NR EWID.: 1759, 1788, 1789, 1790, 1794, 1806, 1824, 1825, 1826, 1827, 1858, 1869, 1874, 1881, 1886/1, 1886/2, 1886/3, 1887, 1888, 1898, 1909, 1935, 2013, 2160

INWESTOR		Gmina Łęczna Plac Kościuszki 5 21-010 Łęczna
JEDNOSTKA PROJEKTUJĄCA		Zespół Projektowania i Obsługi Inżynierskiej Budownictwa Drogowego „ToMaR - DROG”, Tomasz Lis, Marek Oleszczuk – spółka jawna ul. Melgiewska 38B/14 20-234 Lublin

ZESPÓŁ PROJEKTUJĄCY:

FUNKCJA	IMIĘ I NAZWISKO	UPR. NR	DATA	PODPIS
PROJEKTANT	mgr inż. Tadeusz Mazurek	699/Lb/88	09.2015	
SPRAWDZAJĄCY	mgr inż. Grzegorz Rakowski	ONB 907/23/72	09.2015	



MINISTERSTWO
INFRASTRUKTURY
I ROZWOJU



Współfinansowane z funduszy EOG, pochodzących z Islandii, Lichtensteinu i Norwegii oraz środków krajowych

LUBLIN, LISTOPAD 2015

SPIS TREŚCI

Część I - Założenia analiz statycznych i wymiarowania

Część II – ustrój niosący i filary

1. Dane wyjściowe	str.1
2. Charakterystyka wytrzymałościowa stalowych blachownic (faza 1)	str.1
2.1.Wskaźnikui wytrzymałości blachownic	str.1
3. Obciążenie kładki	str.1
3.1. Ciężar własny	str.1
3.1.1. Faza 1	str.1
3.1.2. Faza	str.1
3.2.1. Blachownice skrajne	str.1
3.2.2.reakcje z przęsła środkowego	str.1
3.3. Naprężenia w belkach	str.2
3.3.1 Faza 1	
3.3.2 Faza 2	
3.3.3.Ugięcia belek w fazie 1	str.4
4. Wymiarowanie podpór pośrednich (filarów)	str.4
4.1. Obciążenie filara w Fazie 1 – kierunek Y (prostopadły do osi podłuż.)	str.5
4.2. Kierunek X (wzdłużny)	str.5
4.3. Wymiarowanie oczepu w kierunku Y	str.6
4.3.1. Przekrój 1-1	str.6
4.3.2. Przekrój 2-2	str.6
4.3.3. Faza 2	str.6
4.4. Parcie wiatru na przęsła (kierunek Y)	str.7
4.5.Wymiarowanie przekroju podporowego w Fazie 2	str.7
5. Wymiarowanie ławy wieńczącej pale	str.8
6. Obliczenie poprzecznic nad przyczółkami	str.9
7. Obliczenia ramownicy głównej ustroju niosącego w Fazie 2	str.10
7.1. Reakcje z obciążenia ramownicy	str.10
7.2. Momenty zginające w ryglu ramownicy	str.11
7.3. Momenty zginające w słupach ramownicy	str.11
7.4.Zestawienie obciążenia słupów przyjęte do wymiarowania	str.11
7.5. Siły tnące w ryglu ramownicy	str.12
7.6. Siły tnące w słupach	str.12

7.7. Podpory nr 2 i 3 (ciężar ławy) i zestawienie obciążeń pali	str.13
8. Wymiarowanie płyty pomostu	str.14
9. Zespoleńie płyty betonowej z belkami stalowymi	str.15
10. Poprzecznicze belek stalowych	str.17
10.1.Reakcje pionowe w poprzecznicach	str.17
10.2. Momenty zginające	str.17
10.3. Przymocowanie poprzecznic do żeber środków	str.17
10.4.Sprawdzenie poprzecznic na czas oparcia na oczepach	str.18
10.5 Połączenie pakietów na śruby sprężające	str.18

Część III – Obliczenia przyczółków (podpory nr 1 i 4)

1.Dane wyjściowe	str.1
2. Obciążenie z przęsła	str.1
2.1. Obciążenia pionowe z przęsła	str.1
2.2. Siła pozioma z przęsła	str.1
2.3. Ciężar własny przyczółka	str.1
2.4. Obciążenie przyczółka w kierunku wzdłużnym	str.2
2.4.1 Parcie gruntu nieobciążonego	str.2
2.4.2 Parcie gruntu obciążonego	str.2
2.4.3. Siły oporu w łożyskach elastomerowych	str.2
2.5. Zestawienie obciążeń w poziomie spodu przyczółka	str.3
2.6. Palowanie przyczółka	str.3
2.7. Wymiarowanie przyczółka	str.4
2.7.1 Korpus przyczółka	str.4
2.7.2. Skrzydełka trójkątne	str.4
2.7.3. Wspornik odciażający za przyczółkiem	str.5
2.7.4 Ścianka zaplecza	str.5
3. Obliczenia spływu wody opadowej z pomostu kładki	str.6

IV. Załączniki do obliczeń statycznych –wydruki komputerowe

LZAŁOŻENIA ANALIZ STATYCZNYCH I WYMIAROWANIA KONSTRUKCJI.

1.1. Analiza podpór.

Schemat statyczny mostu rozwiązywany jest w dwóch fazach obliczeniowych:

1. Faza 1 realizacyjna – do momentu zabetonowania przęsła.
2. Faza 2 użytkowa – po zabetonowaniu przęsła i zespoleniu z podporami

W fazie 1 ustrój nośny składa się z 3 przęseł swobodnie podpartych o rozpiętościach przęseł równych: przęsła skrajne $L_1 = 23,25$ m i przęsło środkowe $L_1 = 22,50$ m. Belki oparte są na oczepach podpór pośrednich w odległości 20 cm od czoła belek. Belki pracują w pakietach złożonych po 2 belki w przenoszeniu obciążeń stałych związanych z fazą realizacyjną.

Podpory w fazie 1 składają się z oczepów w kształcie odwróconej litery T i słupów średnicy 80 cm opartych na ławach wieńczących pale fundamentowe średnicy 90 cm.

W fazie 2 ustrój nośny zostaje zespolony z płytą pomostu i zostaje monolitycznie związany z podporami. Powstaje w ten sposób, układ ramowy 3-przęsłowy o rozpiętościach przęseł (rygla) równych $L_t = 24,00-24,00-24,00$ m.

Schematem statycznym podpór pośrednich w kierunku poprzecznym do osi wiaduktu jest ramownica jednosłupowa z oczepem (słup średnicy $D=80$ cm.) Słup jest zamocowany w oczepie i ławie wieńczącej pale fundamentowe.

Pod względem statycznym pale fundamentowe podpór traktowane są jak słupy pograżone w ośrodku sprężystym spełniającym warunki odporu podłoża wprost proporcjonalnie do:

- właściwości gruntu scharakteryzowanych współczynnikiem proporcjonalności "m" podanym w MN/m^4 (w zależności od rodzaju i stanu gruntu w strefie aktywnej zginania pala)
- zagłębienia pala w stosunku do przyjętego poziomu obliczeniowego
- przemieszczenia bocznego pala pod wpływem obciążeń poziomych.

Poziom obliczeniowy gruntu do określenia zginania pali i ich nośności przyjęto na spodzie ław fundamentowych.

W schemacie obliczeniowym reakcje boczne ośrodka gruntowego zostały zastąpione pojedynczymi prętami o sztywnościach odpowiadającym reakcji gruntu (podporami sprężystymi). Dolny koniec pali traktuje się jako utwierdzony w skale.

Analizy statyczne od ciężaru stałego wykonano dla dwóch faz pracy przęsła:

- faza 1 - przed zespoleniem - układ belek swobodnie podparty,
- faza 2 - po zespoleniu z betonem wypełniającym - układ ramownicowy 3 - przęsłowy,

Obciążenia uwzględnione w obliczeniach:

W fazie 1:

- ciężar własny konstrukcyjny dźwigarów stalowych $g(0)$,
- ciężar własny deskowań gzymsów i betonu płyty i wypełniającego nad filarami $g(1)$,

W fazie 2:

- ciężar własny nawierzchni i elementów wyposażenia: kable, poręcze $g(2)$,
- obciążenie ruchome tłumem pieszych o natężeniu $4,00$ kN/m²
- uderzenie pojazdu w słup podpory nr 3

- zmian długości przęsła wywołanych wpływami termicznymi ($\Delta t = \pm 35^0$),

Analizę statyczną ustroju nośnego i podpór na podstawie wyników sił wewnętrznych i przemieszczeń w schemacie statycznym ramownicy głównej ustroju niosącego wykonano całkowicie w technice mikrokomputerowej i w arkuszu Excel.

Wyniki analiz podano w zestawieniach tabelarycznych, sporządzonych w arkuszu kalkulacyjnym Excel.

1.2. Charakterystyka prętów zastępczych sprężystego zamocowania pali fundamentowych w ośrodku gruntowym.

Wielkość nacisku bocznego gruntu na pale fundamentowe na głębokości „z” poniżej poziomu obliczeniowego terenu:

$$q_z = \sigma_z * b_0 = c_z * b_0 * y_z = m * z * b_0 * y_z$$

gdzie:

c_z - $= m * z$ – współczynnik podłoża zależny od wsp. „m” i głębokości „z”

m – wsp. proporcjonalności podłoża zależny od rodzaju gruntu i jego cech geotechnicznych

b_0 – szerokość obliczeniowa pala

y_z – przemieszczenie boczne pala

$$b_0 = k * k_\phi * k_0 * d$$

k – wsp. uwzględniający wzajemne oddziaływania pali leżących w płaszczyźnie działania sił jeśli rozstaw pali w świetle L_0 jest mniejszy od $L_p = 1.8 * (d+1)$

$$k = k_1 + (1-k_1) / 1.8 / (d+1) * L_p$$

$$L_p = 1.8 * (d+1)$$

$$L_p = 1,80 \times (0,90+1,0) = 3,42\text{m}, \text{ rozstaw pali rzeczywisty } L = 2,50\text{m}$$

$$k_1 = 0,60 \quad \text{dla 2 pali w podporze}$$

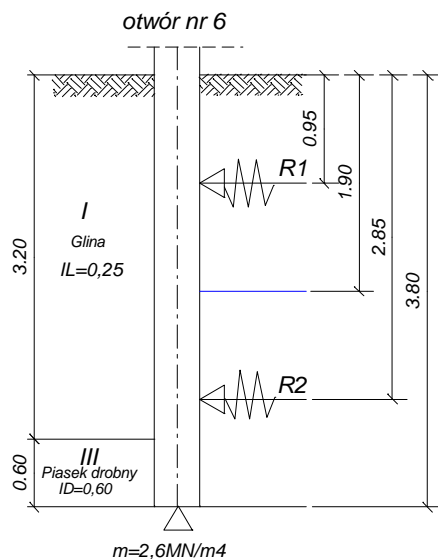
$$k = k_1 + (1-k_1) / L_p \times L = 0,60 + (1,00-0,60) / 3,42 \times 2,50 = 0,892$$

k_ϕ – wsp. przekroju poprzecznego pala, $k_\phi = 0,90$

$$k_0 = 1,50 + 0,5 / d = 1,5 + 0,50 / 0,90 = 2,05$$

$$b_0 = k * k_\phi * k_0 * d = 0,892 * 0,90 * 2,05 * 0,90 = 1,48 \text{ m dla 2 pali } b_0 = 2,96\text{m}$$

- schemat zastępczy odporu bocznego gruntu na pal fundamentowy – wg profilu geotechnicznego (odwierty nr 6)



Przyjmuję $m = 2,60 \times 0,90 = 2,30 \text{ MN/} q_z$ wsp. materiałowy $\mu = 0,90$

$$h_m = 2(d+1) = 2(0,90 + 1,00) = 3,80 \text{ m}$$

Podpora sprężysta R1:

$$z = 0,95 \text{ m}$$

$$q_z = m \cdot z \cdot b_0 \cdot y_z = 2,3 \cdot 0,95 \cdot 2 \cdot 1,48 \cdot y_z = 6,46 y_z$$

$$\Delta h = 1,90 \text{ m}$$

$$R1 = q_z \cdot \Delta h = 6,46 \cdot y_z \cdot 1,90 = 12,3 \cdot y_z$$

podpora sprężysta R2:

$$z = 2,85 \text{ m}$$

$$m = 2,30 \text{ MN / m}^4$$

$$\Delta h = 1,90 \text{ m}$$

$$R2 = m \cdot z \cdot b_0 \cdot y_z \cdot \Delta h = 2,3 \cdot 2,85 \cdot 2 \cdot 1,48 \cdot y_z \cdot 1,90 = 36,6 y_z$$

- podpory sprężyste zastępuje się prętami dwuprzegubowymi o sztywnościach odpowiadającym reakcjom podłużnym. Długość prętów zastępczych przyjęto $L = 1,00 \text{ m}$, a pole przekroju poprzecznego wyznaczono dla $E_b = 36400 \text{ MPa}$ z warunku:

$$\sigma = \varepsilon E$$

$$\sigma = R_i / A_i$$

$$e = y_z / L, \text{ zatem: } \sigma = \varepsilon E \Rightarrow R_i / A_i = y_z / L \cdot E \Rightarrow A_i = R_i \cdot L / y_z / E \text{ czyli:}$$

$$A1 = 12,3 y_z \cdot 1,00 / y_z / 36400 = 0,000335 \text{ m}^2 = 3,35 \text{ cm}^2$$

$$A2 = 36,6 y_z \cdot 1,00 / y_z / 36400 = 0,001055 \text{ m}^2 = 10,55 \text{ cm}^2$$

na poziomie $z = 3,80 \text{ m}$ poniżej poziomu obliczeniowego terenu, pał traktuje się jako zamocowany w miękkiej skale (gezie).

Parametry prętów zastępczych (sprężynek) :

- dla $A1$: $F1 = 3,35 \text{ cm}^2$, $d = 2,06 \text{ cm}$, $J1 = 0,90 \text{ cm}^4$ i dla 2 sprężynek (2 pale)

$$F1 = 6,7 \text{ cm}^2, \quad J1 = 2,0 \text{ cm}^4$$

- dla $A2$: $F2 = 10,55 \text{ cm}^2$, $d = 3,66 \text{ cm}$, $J2 = 8,05 \text{ cm}^4$

$$F2 = 21,0 \text{ cm}^2, \quad J2 = 16,1 \text{ cm}^4$$

2. Ramownica główna i podpory pośrednie kładki

Siły wewnętrzne w ramownicy ustroju niosącego i podporach pośrednich określono na podstawie wyników obliczeń sił wewnętrznych wg własnego programu komputerowego „Rama” dla ramownicy ustroju niosącego i zadanych obciążeń zewnętrznych.

Schemat obliczeniowy ramownicy ustroju niosącego kładki pokazano na załączniku graficznym i wydrukach komputerowych.

Zestawienie zbiorcze sił wewnętrznych dla obciążeń obliczeniowych w miarodajnych węzłach układu ramowego wykonano w arkuszu kalkulacyjnym Excel.

Siły w podporach pośrednich obliczono dla kierunku „Y” prostopadłego do osi podłużnej kładki i dla kierunku „X” wzdłużnego.

Reakcje na poszczególne belki w fazie 1 obliczono z uwzględnieniem nierównego rozkładu obciążenia belki wynikającego z łuku poziomego pomostu $R=180m$.

Oczep będzie betonowany w 2 fazach.

W fazie 1 będzie wykonana jego część do wysokości 1,10m. i fazie 2 pozostała część.

W fazie 1 uwzględniono obciążenia jednostronne jakie mogą wystąpić w czasie betonowania płyty.

Obliczenia podpory pośrednie wykonano w arkuszu kalkulacyjnym Excel.

Płytę betonową zespoloną z belkami stalowymi obliczono w kierunku Y jako belkę ciągłą 3 przęsłową ze wspornikami i kierunku Y wynikającymi z docelowego układu ramowego.

Przęsła zespolone obliczono wg własnego programu komputerowego „Zesp” dla miarodajnych przekrojów (przęsłowych i podporowych).

IV. Załączniki do obliczeń statycznych –wydruki komputerowe

1. Analiza statyczna ramownicy ustroju niosącego kładki – załącznik nr 1 Rama2.dat)
2. Analiza statyczna rusztu palowego – podpora nr 2 - załącznik nr 2 (Pale2.dat
3. Analiza statyczna rusztu palowego – podpora nr 3 - załącznik nr 3 Pale3z.dat)
4. Analiza statyczna rusztu palowego – przyczółek nr 1 - załącznik nr 4(Pal 1P.dat)
5. Analiza statyczna rusztu palowego – przyczółek nr 4 - załącznik nr 5(Pal2B.dat)
6. Wymiarowanie słupów podpór pośrednich D=80cm - załącznik nr 6(Slup1A.dat)
7. Wymiarowanie pali D=90cm - załącznik nr 7 (Pale90.dat)
8. Płyta betonowa pomostu - załącznik nr 8 (Plyta1.dat)
9. Wymiarowanie przekroju zespolonego (skrajne w środku): -załącznik nr 9 (zesp3Sk.dat)
10. J.w. skrajne nad podporą : -załącznik nr 10 (zesp5L.dat)
11. J.w. lecz środkowe nad podporą: -załącznik nr11(zesp13S.dat)
12. J.w. przęsło środkowe w środku dla M_{\max} : -załącznik nr12(zesp14S.dat)
13. J.w. przęsło środkowe w środku dla M_{\min} : - załącznik nr 13(zesp14A.dat)

$$R_{c2o} = 403 \times 10,4 / 34,12 = \frac{123}{246} \text{ kN}$$

$$R_{r2o} = \frac{148}{295} \text{ kN}$$

3.2.2 **Reakcje z przęsła środkowego**

same belki $R_{c3} = (22,50 + 2 \times 0,20) \times 10,40 / 2 = 119 \text{ kN}$

belki + beton $(22,50 + 0,40) \times 34,12 / 2 = 391 \text{ kN}$

143 kN
483 kN

Moment w przęśle skrajnym w fazie 1

$$\text{obc.charakterystyczne } M_1 \max = 403 \times 23,45 / 2 - (23,45 / 2 + 0,2) \times (23,45 / 2 + 0,2) \times 34,12 = 2305 \text{ kNm}$$

Moment zginający w przęśle środkowym

$$\text{obc.charakterystyczne } R_1 = R_2 = 22,90 \times 33,80 / 2 = 391 \text{ kN}$$

$$M \max = 391 \times 22,5 / 2 - (22,50 / 2 + 0,2) \times (22,5 / 2 + 0,2) \times 34,12 = 2159 \text{ kNm}$$

3.3. Naprężenia w belkach

3.3.1 Faza 1

obliczenie ugięć belki w fazie 1

Rozpiętość belki skrajnej w fazie 1

Moment bezwładności w fazie 1

belki skrajne nr 1 i 2

belki skrajne nr 3 i 4

Moduł sprężystości stali

przęsła skrajne

przęsła środkowe

Reakcje na podpory od obciążenia z belek w fazie 1 (obciążenia q1)

do obliczeń ugięć przyjmuję obciążenie bez deskowania

Zestawienie sił wewnętrznych w belkach w fazie 1

$$L_1 = 23,45 \text{ m}$$

$$L_2 = 22,50 \text{ m}$$

$$J_{x1} = 143308 \text{ cm}^4$$

$$J_{x1} = 143308 \text{ cm}^4$$

$$E_a = 205000 \text{ MPa}$$

$$f = 5 \times M_c \times L_{t1} \times L_{t1} / (48 \times E_a \times J_x) = 0,0001950 \times M_c(i)$$

$$f = 5 \times M_c \times L_{t2} \times L_{t2} / (48 \times E_a \times J_x) = 0,0001795 \times M_c(i)$$

$$q_1' = 30,12 \text{ kN/m}$$

$$\text{wsp. } \alpha = 30,12 \text{ m} / 34,12 = 0,883$$

Zestawienie sił wewnętrznych w belkach w fazie 1									Tabela 3	
Numer belki stalowej	Momenty na belki wg wsp.rozdziału	Przęsła środkowe			Reakcje w fazie 1				Ugięcie w fazie 1 Y1(i) * α m	Ugięcie pakietu po 2 belk m
		Momenty w fazie 1			na filar		z przyczółek			
		charakt. Mc (i) kNm	wsp.obc.	Obliczen. Mr(i) kNm	charakt. R1c(i) kN	Obliczen. R1(r) kN	charakt. R2c(i) kN	Obliczen. R2(i) kN		
Przęsło środkowe										
belka nr 1	0,273 x 2159 =	590,0	1,235	728,8	106,8	131,9			0,093	
belka nr 2	0,245 x 2159 =	529,1	1,235	653,5	95,7	118,2			0,084	0,089
belka nr 3	0,245 x 2159 =	529,1	1,235	653,5	95,7	118,2			0,084	
belka nr 4	0,237 x 2159 =	510,9	1,235	631,1	92,4	114,2			0,081	0,082
Przęsła skrajne						482,5				
belka nr 1	0,273 x 2305 =	629,8	1,235	777,9	110,3	136,2	110,25	136,2	0,108	
belka nr 2	0,245 x 2305 =	564,7	1,235	697,6	98,9	122,1	98,87	122,1	0,097	0,103
belka nr 3	0,245 x 2305 =	564,7	1,235	697,6	98,9	122,1	98,87	122,1	0,097	
belka nr 4	0,237 x 2305 =	545,3	1,235	673,6	95,5	117,9	95,47	117,9	0,094	0,096
Razem						498,3	498,3			

Naprężenia w belkach w Fazie -1

Naprężenia w belce		w przęśłach skrajnych			w przęśle środkowym			Tabela 4	
		Moment Mr(i) kNm	pas dolny MPa	pas górny MPa	Moment Mr(i) kNm	pas dolny MPa	pas górny MPa		
Faza 1									
Wsk.wytrzym. [cm3]		5211	-5211		5211	-5211			
w przęśle		777,9	149,3	-149,3	728,8	139,8	-139,8	< 195 MPa	

3.3.2 Faza 2

Siły wewnętrzne dla obciążeń w fazie 2 obliczono wg programu własnego ustroju ramownicowego.

Obciążenia krótkotrwałe - ruchome od obciążeniem

Charakterystyka przekroju zespolonego

dla stali

dla betonu B30

Grubość płyty betonowej

Szerokość współpracująca

Wysokość belek stalowych

$$E_a = 205000 \text{ MPa}$$

$$E_b = 32600 \text{ MPa}$$

$$n = E_a / E_b = 6,29$$

$$g = 14 \text{ cm}$$

$$B = 130 \text{ cm}$$

$$H = 55 \text{ cm}$$

Przekrój betonowy

	szerokość B cm	grubość g cm	Pole Fb cm ²	odl yi cm	Mom.stat' S=Fb*yi cm ³	e = y-yi cm	E=e * e cm ²	Momenty bezwładności		
								J1 = F * E cm ⁴	J wł cm ⁴	Jx =J1+Jw. cm ⁴
Płyta betonowa	130,0	14,0	1820	12	21840	-0,83	0,69	1264	29727	30991
Wstawka	35	5	175	2,5	438	8,67	75,1	13144	365	13509
			1995		22278			14408	30091	44500
os obojętna od góry belki stalowej			Y = 11,17		cm					

	szerokość B cm	grubość g cm	Pole Fb cm ²	Mom.bez. Jxb cm ⁴	Przekrój sprowadzony do stali		Odl.osi od spodu środka e cm	Moment statyczny Sa =F*e cm ³	Tabela 5a	
					Fs =Fb/n cm ²	Jsb=Jxb/n cm ⁴				
Płyta betonowa	130,0	14,0	1995	44500	317	7077	62,97	19976		
Przekrój stalowy				143308	265		24,30	6437		
					582			26413		
Y = Sa / Fz =					45,4		cm			

Moment bezwładności przekroju zespolonego

	Pola przekroju F1 cm ²	Odległości od osi obojętnej przekroju yi = Y-e cm	D= yi* ² yi cm ²	Momenty bezwładności		
				Jx wł cm ⁴	J1 = F*D cm ⁴	Jxz=J1w+J1 m ⁴
plyta betonowa	317	-17,6	309,6	7077	98213	105289
przekrój stalowy	265	21,1	444,0	143308	117623	260932
				150385	215836	366221

Tabela 5c

Wskaźniki wytrzymałościowe przekroju zespolonego - dla obciążeń krótkotrwałych

wysokość belki stalowej Hc = 55,0 + 5,0 + 14,0 = 74,0 cm

	odległości hi cm	Wskaźniki wytrzyma.		Naprężenia - obc. tłumem w fazie 2			Faza 1 MPa	Razem faza 1+2 MPa
		stali Wai=Jz/hi	betonu Wbi=Jz/hi*n	Moment 345 kNm	stal MPa	beton MPa		
górną płyty beton.	-25,4		-90566			-3,8		-3,8
spód płyty beton.	-11,4		-201516			-1,7		-1,7
	-6,4		-358264			-1,0		-1,0
górną pasa górnego	-6,4	-56973			-6,1		-149,3	-155,3
spód pasa górnego	-3,2	-113451			-3,0			
górną pasa dolnego	45,4	8072			42,7			
spód belki stalowej	48,6	7540			45,7		149,3	195,0
spód nakładki dolnej								

< 195 MPa

Obciążenia długotrwałe - obciążenie q2

Charakterystyka przekroju zespolonego dla obciążeń długotrwałych

stal 18 G2 Ea = 205000 MPa
 beton B 35 Eb = 32600 MPa n = 3 Ea / Eb = 18,87
 Grubość płyty betonowej g = 14 cm
 Szerokość współpracująca B = 130 cm
 Wysokość belek stalowych H = 55 cm
 Obciążenie długotrwałe q2 = -0,12 kN/m

Przekrój betonowy

	szerokość B cm	grubość g cm	Pole Fb cm ²	odl yi cm	S=Fb*yi cm ³	e = y-yi cm	E = e*e cm ²	Moment bezwładności		
								J1 = E * F cm ⁴	J wł cm ⁴	Jxz=J1+Jwł cm ⁴
Płyta betonowa	130,0	14,0	1820	12	21840	-0,8	0,7	1264	29727	30991
Wstawka	35,0	5	175	2,5	438	8,7	75,1	13144	365	13509
			1995		22278			14408	30091	44500
					Y = 11,17 cm					

Tabela 7

	szerokość B cm	grubość g cm	Pole Fb cm ²	Mom.bez. Jxb cm ⁴	Przekrój sprowadzony do stali		Odl.osi od spodu belek e cm	Moment statyczny Sa = F*e cm ³
					Fs = Fb/n cm ²	Jsb=Jxb/n cm ⁴		
Płyta betonowa	130,0	14,0	1995	44500	106	2359	63,0	6659
Przekrój stalowy				143308	265	143308	24,30	6437
					371			13096
					Y = Sa / Fz = 35,3 cm			

Tabela 7a

Moment bezwładności przekroju zespolonego

	Pola przekroju F1 cm ²	Odległości od osi obojętnej przekroju yi = Y-e cm	D= yi* ² yi cm ²	Momenty bezwładności		
				Jx wł cm ⁴	J1 = F*D cm ⁴	Jxz=J1w+J1 m ⁴
plyta betonowa	106	-27,6	763,7	2359	80759	83118
przekrój stalowy	265	11,0	121,7	143308	32240	175548
				145667	112999	258666

Tabela 7c

Wskaźniki wytrzymałościowe przekroju zespolonego

	odległości hi cm	Wskaźniki wytrzyma.		Naprężenia od obc. długotrwałych w Fazy 2 belka nr 1 - przeszło skrajne			Faza 1 MPa	Razem Faza 1 i 2 przeszło skrajne MPa	M = -1 przeszło środkowe	Razem Faza 1 i 2 przeszło środkowe MPa
		stali Wai=Jz/hi	betonu Wbi=Jz/hi*n	Moment -2 kNm	stal MPa	beton MPa				
górną płyty beton.	-35,5		-137582			0,0		0,0	0,00	0,00
spód płyty beton.	-24,7		-197817			0,0		0,0	0,00	0,00
	-19,7		-248107			0,0		0,0	0,00	0,00
górną pasa górnego	-19,7	-13152			0,1		-149,3	-149,2	0,0	-149,2
spód pasa górnego	-16,5	-15707			0,1			0	0,0	
górną pasa dolnego	35,3	7321			-0,2			0	-0,1	
spód belki stalowej	38,5	6713			-0,2		149,3	149,0	-0,1	149,2

Tabela 8

Obciążenia długotrwałe

Prześła skrajne

Reakcja na przyczółek

max.moment przeszłowy

na belkę skrajną nr 1

Prześło środkowe

Reakcja na filar

Moment przeszłowy

na belkę skrajną nr 1

R 1 =	-1	kN	wg wydruków
Mmax =	-5	kNm	wg wydruków komp.
M1 = -5 / 4 =	-1,4	kNm/belkę	
R 1 =	-3	kN	wg wydruków
M max =	-2	kNm/prześło	
M2 = -137 / 4 =	-0,6	kNm/belkę	

Współczynniki rozdziału obciążenia na belki w fazie 2 - określone metodą sztywnej poprzecznic

odległości między belkami

mimośród obciążenia zmienny

Jx = (0,55 x 0,55+1,65 x ,65) x 2 =

c =	1,10	m		
e(max) =	0,20	m	przyjmuję średnią wartość	e = 0,10 m
W1 =	3,667			
W2 =	11,000			
m1 = (1/4+e,W1) * P =	0,2773	* P		
m2 = (1/4+e/w2) * P =	0,2591	* P		
m3 = (1/4 - 0,12/11,00) * P =	0,2409	* P		
m4 = (1/4 - 0,12/3,667) * P =	0,2227	* P		

Moment od obc.łtujem

Prześła skrajne

Prześło środkowe

M(sk)t =	1243	kNm/ prześło	wg obliczeń komp.
Mt max1 = 0,2773 x 1243 =	345	kNm/belkę	
M(sr)t =	880	kNm/ prześło	
Mt max2 = 0,2773 x 880 =	244	kNm/belkę	

Obciążenie długotrwałe

od obciążenia q2

na belkę skrajną zewn.

Na belkę skrajną wewn.

M2q2 =	-5	kNm	skrajne	środkowe
max M2q2 = -5 x 0,2773 =	-1,5	kNm/belkę	-0,6	kNm
max M4q2 = -5 x 0,2227 =	-1,2	kNm/belkę	-0,5	kNm

Zestawienie naprężeń w belce skrajnej nr 1 (od zewnętrznej strony łuku) - prześła skrajne

Tabela 9									
miejsce naprężeń	odległości hi od osi oboj. cm	Wskaźniki wytrzymał.		Faza 1 Moment 777,9 kNm	Naprężenia w przekroju obc.długotrwałe w fazie 2 - q2			Faza 2 ob.łtujem qt 345 MPa	Razem Faza 1 i 2 MPa
		stali Wai=Jz/hi	betonu Wbi=Jz/hi ² n długotrwał. cm3		Moment -1,5 kNm	stal MPa	beton MPa		
		cm3	cm3						
góra płyty beton.	-35.5		-137582				0,01	-3.81	-3.8
spód płyty beton.	-24.7		-197817				0,01	-1.71	-1.7
	-19.7		-248107				0,0	-1.4	-1.4
góra pasa górnego	-19.7	-13152		-149.3		0.1		-6.1	-155.2
spód pasa górnego	-16.5	-15707		-131.9		0.1		-21.9	-153.8
góra pasa dolnego	35.3	7321		131.9		-0.2		47.1	178.8
spód belki stalowej	38.5	6713		149.3		-0.2		51.4	200.4

Naprężenia w przęśłach zespolonych z uwzględnieniem skurczu i pęcznienia betonu wykonano wg programu "Zesp" wyniki w załączeniu.

3.3.3. Ugięcia belek w fazie 1

Momenty od obciążenia długotrwałego

prześła skrajne- belka nr 1

prześła skrajne- belka nr 4

M1q2 = -1,5 / 1,2 =	-1,3	kNm
M4q2 = -1,2 / 1,2 =	-1,0	kNm
Jzd =	258666	cm4

belka zewn. nr 1

belka wewn.nr 4

Prześła środkowe

belka zewn. nr 1

belka wewn.nr 4

od obc.łtujem

prześło skrajne

f1q2 = -5x0,0013x24,0x24,0 / (48x205000x258666) *100000=	-0,00014	m	b.małe pomijam
f4q2 = -5x0,0010x24,0x24,0 / (48x205000x258666) *100000=	-0,00011	m	
Msq2 =	-0,6	kNm	
f1sq2 = -5x0,0006x24,0x24,0 / (48x205000x258666) *100000=	-0,00007	m	
	-0,00005	m	

Mt = 1243 / 1,50x 0,273 =	230	kNm/ belkę
Jxz =	366221	cm4
f t = 5 x 24,0x24,0x0,230/(48x205000x366221)x100000 =	0,018	m

Dop.ugięcie od obc.łtujem przyjęto równe 1/600 Lt

Prześło środkowe

Razem ugięcie od obc.stałych w fazie 1 i 2

f dop = 24,00 / 600 =	0,040	m	> fp = 0,018 m
Mt2 = 244 / 1,50 =	163	kNm/ belkę	
ft = 0,018 x 163 / 230 =	0,013	m	

Prześła skrajne

belki skrajne zewn.łuku

Prześło środkowe

belki skrajne zewn. łuku

fc = 0,1103 - 0,00014 =	0,108	m
fc = 0,093 - 0,00007 =	0,093	m

przyjęto strzałkę wykonawczą f k =	0,100	m
przyjęto strzałkę wykonawczą f k =	0,090	m

Środniki belek stalowych wycinane będą wg łuku kołowego o promieniach wskazanych na rysunku konstrukcyjnym blachownic.

Docelowy promień łuku pionowego przeset po ugięciach trwałych od obciążenia w Fazie 1 wynosi R=700m.

4. Wymiarowanie podpór pośrednich - filarów

Oczep filarów wymiaruję jako belkę prostokątną do której powczepione są wsporniki pod belki stalowe

Wymiary oczepu w osi słupa

szerokość od str.wewn. łuku

szerokość od str. zewn. łuku

nad słupem

wysokość

długość oczepu

wysokość wspornika

szerokość niszzy

Ciężar własny oczepu

strona zewnętrzna łuku

strona wewnętrzna łuku

b1 =	1,72	m	b1' = 1,72-2x0,56=	0,60	m
b2 =	2,31	m	b2' = 2,31-2x0,56=	1,19	m
bo = (1,72 + 2,31) / =	2,02	m	bo' = 2,02-2x0,56 =	0,90	m
ho = 0,35+0,35+0,40 =	1,10	m			
Lo =	4,40	m			
hw = 0,35+0,35 =	0,70	m			
an =	0,56	m			
Gop = ((1,19+0,90) / 2 x 1,10 + 0,56 x 2 x 0,70) x 4,40 / 2 x 25,0 x 1,20 =	127,4	kN			
Gol = ((0,60+0,90) / 2 x 1,10 + 0,56 x 2 x 0,70) x 4,40 / 2 x 25,0 x 1,20 =	106,0	kN			
Razem Go =	233,4	kN			
Gbz = ((1,19+0,90) / 2 x 0,40 + 0,56 x 0,80 x 2) x 4,40 / 2 x 25,0 x 1,20 =	86,7	kN			
Gbw = ((0,60+0,90) / 2 x 0,40 + 0,56 x 2 x 0,80) x 4,40 / 2 x 25,0 x 1,20 =	78,9	kN			
Razem Gb =	165,5	kN			
Razem ciężar oczepu	Gf =	399,0	kN		

Ciężar betonu nad niszami
z jednej strony oczepu $G_n = 0,80 \times 4,40 \times 0,56 \times 25 \times 1,2 = 59,14$ kN
szerokości przypadające na belki
czyli na 1 belkę przypada $G_{n1} = G_n / 4 = 14,8$ kN
moment od ciężaru betonu nad niszą $M_{n1} = 0,56 / 2 \times 14,8 = 4,1$ kNm

4.1. Obciążenie filara w Fazie 1 - kierunek Y (prostopadły do osi podłużnej kładki)

Tabela 10											
	Kierunek prostopadły do osi kładki - y					Kierunek wzdłużny - x					
	ramie siły	z przęsła środkowego		z przęsła skrajnego		Suma sił pionowych	ramie siły	Moment zamoc.wsp.		Względem osi słupa	
		Reakcje belki z płytą	Moment	Reakcje belki z płytą	Moment			z przęsła środkowego	z przęsła skrajnego	mimośród	różnica R
ey i m	Ri kN	My=Ri *eyi kNm	Ri kN	My=Ri *eyi kNm	kN	ex i m	Mx=Ri *exi kNm	Mx=Ri *exi kNm	ex o m	Δ Ri Mx =eiΔRi kNm	
Strona lewa oczepu											
ciężar oczepu	1,10	127,4	140,2		127,4	0,28	4,1	4,1			
numery belek											
belka nr 1	1,85	131,9	243,9	136,2	251,9	268,0	0,45	59,3	61,3	0,88	
belka nr 2	0,75	118,2	88,7	122,1	91,6	240,4	0,45	53,2	55,0	0,81	
beton nad niszami	1,10	86,7	47,7		47,7	86,7					
Razem z reakcji belek		336,8		258,3		722,5					
Moment z belek			380,3		391,2				dla obc.		
Łączny moment MyL			911,6						jednostr.	-6,9	
Strona prawa oczepu											
ciężar oczepu	1,10	106,0	116,6		106,0						
belki stalowe											
belka nr 3	0,35	118,2	41,4	122,1	42,7	240,4	0,45	53,2	55,0	0,74	
belka nr 4	1,45	114,2	165,6	117,9	171,0	232,1	0,45	35,5	53,1	0,68	
							Razem Mx			razem	
beton nad niszami	1,10	78,9	43,4		43,4	78,9	Miarodajny Mx do wymiarowania			dla symetr.	
Razem		417,3	250,3	240,0	257,1	657,4	59,3			-12,3	
Łączny moment Myp			624,1				4,1				
Moment w głowicy słupa [kNm]			Ms = 911,6 - 624,1 =	287,6			Mx =	63,5 kNm			
Siła pionowa na słup [kN]			Vs = 722,5 + 657,4 =	1379,9			Qx =	146,6 kN			

Moment od ciężaru własnego oczepu i nisz $M_{yq} = 140,2 + 47,7 - 116,6 - 43,4 = 27,84$ kNm
Moment od ciężaru przęsła $M_{yRo} = 243,9 + 88,7 - 41,4 - 165,6 = 125,7$ kNm
razem $M = 153,52$ kNm

Moment od obciążenia połowy przęsła - betonowanie jednostronne

- na prawej stronie $M_{yp} = -116,6$ kNm $V_p = 106,0$ kN bez belek
- na lewej stronie oczepu $M_{y(L)} = 911,6$ kNm $V_L = 722,5$ kN
 $M = 795,0$ kNm $V = 828,5$ kN

Obciążenie od ciężaru samych belek stalowych na prawej stronie oczepu na przęsłach skrajnym i środkowym

Reakcje na 1 belkę
z przęsła skrajnego $R_{1L} = 148 / 4 = 36,9$ kN
z przęsła środkowego $R_{1P} = 143 / 4 = 35,7$ kN
razem $R = 72,6$ kN $V_{bp} = 145,2$ kN
Obciążenie na lewej stronie oczepu $M_{y(L)} = -(1,45 + 0,35) \cdot 72,6 = -130,7$ kNm

Obciążenie słupa w 1 Fazie - betonowanie jednostronne

$M_y = 795,0 - 130,7 =$	664,4	kNm
$M_x = (336,8 - 258,3) \times 0,84 =$	65,9	kNm
moment wypadkowy $M_w =$	667,6	kNm
$V_o = 828,5 + 145,2 =$	973,7	kN

$e_x = 0,84$ m

Obciążenie słupa w 1 Fazie - obciążenie symetryczne

$M_y(1) =$	287,6	kNm
$M_x(1) =$	53,1	kNm
$M_w =$	292,5	kNm
$V_o(1) =$	1379,9	kN

$e_x = 0,75$ m

4.2. Kierunek X - równoległy do osi kładki

Wsporniki oparcia belek stalowych w fazie 1

Miarodajnym do wymiarowania jest przekrój oczepu w miejscu oparcia belki stalowej nr 1 z przęsła środkowego (rys.1).

Obliczenia wykonuję dla szerokości zastępczej b_Q - dla siły tnącej $Q_x = R$

Moment zginający w przekroju $M_x = 63,5$ kNm
Reakcja z belki stalowej nr 1 $P = Q_x = 146,6$ kN
pretety $\Phi = 12,0$ mm
dla adop = 0,2 mm (stan montaż.) $R_a = 250$ MPa
Kąt między siłą Z_o i Z_a $\alpha = 30$ stopni
 $\sin \alpha = 0,50$
Siła w pręcie $Z_o = R \cdot 1 / \sin \alpha = 2 \times R = 293,3$ kN
Wymagany przekrój zbrojenia F_a i F_o
 $a_p = 45,0$ cm
 $z = 0,85 \times 52 = 44,2$ cm
 $z_2 = 43 \times 0,85 = 36,6$ cm
 $F_a = Z_o / R_a = 1 / R_a \times (0,8 \times P \times a_p / z) = 4,78$ cm²
na szer. 0,80m
 $F_o = 0,3P / R_{axap} / z \times \sqrt{QR(1 + (z_2/a_p) \times (z_2/a_p))} = 2,31$ cm²
 $a_p = 29$ cm
 $F_o = 1,85$ cm²

dla $a_p = 29$ cm

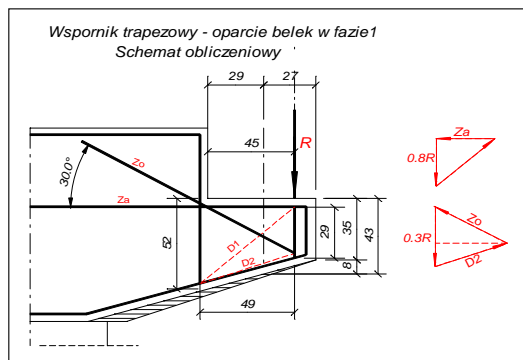
Zbrojenie przypadające na 1 mb szerokości wspornika

zbrojenie $F_o = 2,31 / 0,80 = 2,90$ cm²/m przyjmuję $\Phi 12$ co 30cm

zbrojenie $F_a = 4,78 / 0,80 = 5,99$ cm²/m przyjęto $\Phi 12$ co 15cm

Sprawdzenie przekroju na zginanie

$h = 52$ cm
 $a = 4$ cm
 $h_1 = 52 - 4 = 48$ cm
 $t_y = 30 + 2 \times 21 = 72$ cm
szerokość dla M $b_m = 72 + 1,5 \times 29 = 116$ cm przyjęto $b_m = 45 + 55 = 100$ cm
szerokość dla Q $b_Q = 71 + 0,3 \times 29 = 80$ cm
Przyjęto $F_z = 7,54$ cm²/m F_{12} co 15
 $n = E_a / E_b = 15$
 $R_a = 285$ MPa $R_b = 17,3$ MPa beton C 25/30
strefa ściskana betonu $X = 9,4$ cm



Rys.1

ilość prętów	v =	15	Fz =	57,02	cm2	18G2-b
			x =	29,5	cm	
			z =	122,2	cm	
Napężenia w betonie			$\sigma b(y) = 2 \times 0,48202 / (0,295 \times 1,222 \times 2,02) =$			1,3 MPa
napężenia w stali			$\sigma a = 0,48202 / 0,05702 / 1,222 =$			67,4 MPa
ściananie			$\tau = 0,36554 / 2,02 / 1,222 =$			0,14 MPa
Przekrój zbroję konstrukcyjnie strzemionami $\Phi 12$ co 50cm - jako przedłużenie strzemion z przekroju w fazie 1						

Napężenia sumujące się z Fazy 1 i 2

odległość zbrojenia odczepu z fazy 1	y 1 =	105	cm			
napężenia w stali z Fazy 1	$\sigma a =$	219,3	MPa			
Napężenia w stali z Fazy 2	$\Delta \sigma = 67,4 / (132-29,5) \times (105-29,5) =$			49,7	MPa	
Razem napężenia w stali	$\Sigma \sigma a = 219,3 + 49,7 =$			269,0	MPa	< 285 MPa
Razem napężenia w betonie	$\Sigma \sigma b = 6,6 + 1,3 =$			7,9	MPa	< 17,3 MPa

Przekrój 2- 2

odl. od końca odczepu	y =	1,55	m			
	My 2 =	250,4x0,55=	102,4	kNm		
	Qy2 =		186,2	kN		
	h =	136,0	cm	a =	18	cm
	h1 =	118,0	cm			
przyjęte zbrojenie	$\Phi 25$	$\Phi =$	2,5	cm	Fz1 =	4,91 cm2
ilość prętów	v =	5	Fz =	24,544	cm2	
			n =	15		
			X =	20,1	cm	
			Z =	111,3	cm	
Napężenia w betonie			$\sigma b(y) =$	0,45	MPa	
napężenia w stali			$\sigma a =$	37,5	MPa	
ściananie			$\tau =$	0,08	MPa	
odległość zbrojenia odczepu z fazy 1			y1 =	91,0	cm	
napężenia w stali z Fazy 1			$\sigma a =$	137,2	MPa	
Napężenia w stali z Fazy 2			$\Delta \sigma = 37,5 / (118,0-20,1) \times 91,0 =$		34,9	MPa
Razem napężenia w stali			$\Sigma \sigma a = 137,2 + 34,9 =$		172,0	MPa
Razem napężenia w betonie			$\Sigma \sigma b = 3,09 + 0,45 =$		3,54	MPa

4.4. Parcie wiatru na przęsła - kierunek Y

Przęsła nieobciążone	wn =	2,50	kN/m2			
	$\gamma =$	1,20				
Wysokość przęsła obc.wiatrem	Hp =	0,73 + 1,10/2 =		1,28	m	
Parcie na 1 mb	Wj =	1,28 x 1,20 x 2,50 =		3,84	kN/m	
Siła parcia wiatru na podporę						
siłę poziomą na filar obliczam jak dla reakcji pionowych ramownicy						
pole gałęzi Lw R	$\omega =$	26,61				
	Wn =	3,84 x 26,61 =		102,2	kN	
Moment w głowicy słupa						
ramię siły	Hw =	1,28 / 2 + 0,73 =		1,37	m	
Moment w głowicy słupa	M 6s =	1,37 x 102,5 =		140,0	kNm	
wysokość słupa w podporze nr 2	h 7 =	3,00	m			
wysokość słupa w podporze nr 3	h 17 =	3,90	m			
Moment w podstawie słupa podp.2	M 7s =	(1,37+3,00)x102,5 =		446,5	kNm	
Moment w podstawie słupa podp.3	M 17 s =	(1,37+3,90)x102,5 =		538,4	kNm	
Przęsła obciążone	wo =	1,25	kN/m2			
przypadek miarodajny do obliczeń	Wo =	102,5 / 2 =	51,1	kN		
	M7s =	448,0 / 2 =	223,2	kNm		
	M 17 =	540,3 / 2 =	269,2	kNm		

4.4.1 Napężenia w dźwigarze stalowym od parcia wiatru w Fазie 1

Moment bezwładności blachownicy w kierunku Y	J y =	30x30x30x3,2/12x2+1,5x1,5x1,5/12x48,6 =	14414	cm4	b =	30	cm
	Wy =	Jy / b x 2 =	961	cm3			
Moment zginający w belce (bez uwzględniania poprzecznic)							
parcie jednostkowe wiatru na dźwigar	w =	2,50 x 1,10 x 0,73 =	2,01	kN/m	obc. wyjątkowe		
	M y =	23,45x23,45/8x2,19 =	138	kNm			
	$\sigma y = My / Wy =$	144	MPa				
Napężenia wypadkowe	$\sigma x =$	149	MPa				
	$\sigma w = \text{SQR}(\sigma x^2 + \sigma y^2) =$	207	MPa	$\leq Ra = 1,05 \times 195 =$	205	MPa	

Kierunek - X (wzdłużny)

4.5. Wymiarowanie przekroju podporowego w fazie 2

4.5.1 Węzeł nr 6

Moment podporowy	M2 =	-1569	kNm	wg obliczeń komputerowych			
siła tnąca w fazie 2	Q2 =	-4,5	kNm				
szerokość	b =	440	cm				
Wysokość zmienna od	h =	70	do	150,0	cm		
wysokość średnia	$h = (70+150)/2 =$	110	cm				
	a =	3	cm				
	h1 =	107	cm				
	n =	Ea/Eb =	15				
przyjęte zbrojenie	$\Phi 14$	$\Phi =$	1,4	cm	Fz1 =	1,54	cm2 stal 18G2-b
ilość prętów	v =	44	Fz =	67,73	cm2	co 10,0	cm
strefa ściskana betonu	x =	20,04	cm				
ramię sił wewn.	z =	100,32	cm				
Napężenia w betonie	$\sigma b(x) = 2 \times M2 / (b \times x^2) =$			3,5	MPa		
napężenia w stali	$\sigma a = M2 / (z \times Fz) =$			230,8	MPa	< 285	MPa
ściananie	$\tau = Q2 / b / z =$			0,00	MPa	< 0,28	MPa
Napężenia wypadkowe w betonie w spodzie odczepu							
kierunek Y	$\sigma y = 6,60 + 1,30 =$		7,91	MPa			
kierunek X	$\sigma x = 3,03 + 2,20 =$		6,57	MPa			
napężenia wypadkowe	$\sigma xy = 10,28$	MPa					

główne rozciągające		$\tau = 0,86 + 0,14 = 1,00$		6,04		MPa	> -1,15 MPa
		$\sigma_{gl} = (\sigma_x + \sigma_y)/2 - \text{SQR}((\sigma_x - \sigma_y)/4 * (\sigma_x - \sigma_y + \tau * \tau)) =$					
4.5.2 Węzeł nr 5 (styk belek stalowych z licem oczeput)							
Moment w przekroju	M2 =	-1330,8	kNm	wg obliczeń komputerowych			
siła tnąca	Q2 =	-332,5	kNm				
szerokość	b =	440	cm				
wysokość	h =	73	cm				
	a =	3	cm				
	h1 =	70	cm				
	n =Ea/Eb=	15					
przyjęte zbrojenie	Φ 14	Φ =	1,40	cm	Fz1 =	1,54	cm2
ilość prętów	v =	44	Fz =	67,73	cm2	co 10,0	cm
	x =	15,8	cm				
	z =	64,7	cm				
Naprężenia w betonie	σ b(x) =	2 x M2 / (b *x*z) =	6	MPa			
naprężenia w stali	σ a =	M2 / (z * Fz) =	304	MPa	< 295+10 =305 MPa		
4.5.3 Przekrój w odległości x = 5,00 m od osi podpory nr 2							
	M =	877	kNm				
zbrojenie w przekroju	Φ 12	Φ =	1,20	cm	Fz1 =	1,13	cm2
ilość prętów	v =	44	Fz =	49,76	cm2		
strefa ściskana betonu	x =	13,81	cm				
ramię sił wewn.	z =	65,40	cm				
Naprężenia w betonie	σ b(x) =	2 x M2 / (b *x*z) =	4,4	MPa			
naprężenia w stali	σ a =	M2 / (z * Fz) =	269	MPa	< 295 MPa		
Moment zginający przenoszą pręty zbrojenia podłużnego umieszczone w płycie pomostu							
naprężenia w stali zbroj. w płycie	σ a =	M2 / (h1 * Fz) =	304	MPa	< 305	MPa	
Pręty zbrojenia 44 Φ 14 są na odcinku długości po 5,50 m w obie strony licząc od osi słupa podpór pośrednich (od węzłów nr 6 i 16) i łączone są ze zbrojeniem płyty Φ 12 na zakład.							
5 Wymiarowanie ławy wieńczącej pale							
Siła pioowa ze słupa	P =	2137	kN	wg wydruków komp.			
tolerancja wykonawcza wytyczenia							
pali w kier. X	ax =	0,10	m				
wysokość słupa	hs =	6,00	m				
Siła pozioma od parcia wiatru	Hw =	51,1	kN				
Rozstaw pali	e =	2,50	m				
Moment zginający w ławie							
kierunek poprzeczny - oś y-y							
Zredukowany moment w ławie od siły ze słupa	(wg PN-91/S-10042 p.12.3.3)						
	α 1 = α 2 =	1 - 0,80/1,25 =	0,360				
wsp.redukcji momentu	r =	1/2 *(1+α1*α2) =	0,860				
od siły P	MyP =	2137 * 2,50/ 4 * 0,86 =	1149 kNm				
od parcia wiatru	Myw	Hw x hs =	307 kNm				
	razem My1 =		1456 kNm				
Ciężar własny ławy							
wymiary ławy							
wysokość	h =	1,50	m				
szerokość	b =	1,60	m				
długość	L =	4,10	m				
ciężar własny ławy	g =	h x b x 25,00 x11,20 =	72,0 kN/m				
Moment od ciężaru ławy	Mg =	L/2*g*e/2-(L/2-e/2)*(L2/e/2)*g =	113 kNm				
Razem obciążenie ławy	My =	My1 + Mg =	1569 kNm				
Siła tnąca	Q =	P/2+g*L/2 +Mwy/e =	1339 kN				
Kierunek wzdłuż kładki - x-x							
Moment od mimośrodru " a"	Mx 1 =	P * a =	213,7 kN	a - błąd wytyczenia			
Wymiarowanie ławy							
obciążenie ławy	My =	1456 kNm	Qy =	1339 kN			
	h1 =	136 cm					
Przyjęto Φ 25	Fz1 =	4,91 cm2	ilość prętów	np =	11		
Stal A-II	Fz =	54,00 cm2	wymagany przekrój stali	Fzw = 37,9 cm2 + zbroj od skr			
	b =	160 cm					
	h =	150 cm	ag =	7,0 cm			
otulina zbrojenia dolnego	ad =	14 cm					
	h1 =	h - ad =	136 cm				
	n =	15					
	Ra =	295 MPa	Rb =	17,3 Mpa			
strefa ściskana betonu	X =	32,4 cm					
ramię sił wewn.	z =	125,2 cm					
Naprężenia w betonie	σ b(y) =	2 x My / b / z / x =	4,84 MPa				
naprężenia w stali	σ a =	My / Fz / z =	232,0 MPa	< 285			
ściananie	τ =	0,67 MPa	τB =	0,28 MPa			
	μ =	1+ 50 * Fz / b / h1 =	1,124				
Siła tnąca przenoszona przez beton	Qb =	0,28x1,124x1,252x0,324 =	0,631	MN =	631	kN	
Strzemiona							
pręty Φ 12	fs =	1,131 cm2	v =	6	cięte co	c =	30 cm
siła tnąca przenoszona przez strzemiona	Qs =	285 x 0,0001131 x6 x 1,195 / 0,25 =	0,807	MN =	807	kN	
Pręty odgięte	kąt α =	60 stopni					
	sin α =	0,866					
Przyjęto	s =	3	pręty Φ 25	Fo =	14,73 cm2		
	Qo =	Fo x Ra x sin α =	0,376 MN =	376	kNm		
Nośność przekroju na ściananie							
	Qn =	631 + 807 + 376 =	1814	kN	>	Q2 =	1339 kN
Skręcanie ławy							
Moment skręcający w ławie	Ms = Mx =	213,7 kNm					
określenie dodatkowego zbrojenia na skręcanie							
Obwód rdzenia przekroju	Ur =	[(1,6-2*0,05)+(1,50-0,20-0,-5)]*2 =	5,62	m			

Przekrój rdzenia	$Fr = (1,6 - 0,20 - 0,05) \times (1,60 - 2 \times 0,05) =$	1,965	m ²	
	$t s = Ms / (0,40 \times 1,6 \times 1,5 \times 1,5) =$	0,06	Mpa	< 0,28
rozstaw strzemion zamkniętych	$cr =$	0,45	m	
wymagany przekrój strzemiona	$f s = Ms \times cr / (2 \times Fr \times n Ra)$	0,000083	m ²	0,83
przyjęto co 30 cm Φ 12	$d =$	12	mm	Fd = 1,13 cm ² > f s
Dodatkowe pręty podłużne	$Fp = Ms \times Ur / (2 \times Fr \times Ra) =$	0,0010	m ²	10,4 cm ²
rozstaw po obwodzie	$v =$	20	sztuk	
czyli pole 1 pręta	$Fp 1 =$	0,52	cm ²	po 5 prętów dołem i górą i po 5 prętów na na wys. ławy
wymagane zbrojenie dołem	$F d = 0,55 \times 5 + 37,9 =$	40,4	cm ²	przyjęto 11 prętów Φ 25 $Fz =$ 54,00 cm ²
Moment podporowy w ławie nad palami (zbrojenie ławy górą)				
Obliczenia wykonuję jak dla belki utwierdzonej.				
Moment podporowy od siły ze słupa	$P =$	2137	kN	wg wydruków komp.
	$L =$	2,50	m	
	$M(P) = P \times L / 8 =$	667,9	kNm	
Moment od ciężaru własnego ławy	$q =$	72,0	kN/m	
	$Mq = q \times L \times L / 8 =$	56,3	kNm	
Razem moment podporowy	$Mp = M(P) + Mq =$	724,1	kNm	
wymiary ławy	$b =$	160	cm	
	$h =$	150	cm	
	$a =$	8	cm	$h1 = h - a =$ 142 cm
Przyjęto 5 prętów Φ 25	$Fz =$	24,54	cm ²	
	$n = Ea / Eb =$	15		
strefa ściskana betonu	$x =$	23,37	cm	
ramię sił wewn.	$Z = h1 - X/3 =$	134,2	cm	
Naprężenia w betonie	$\sigma b = 2 \times Mp / (b \times x \times z) =$	2,9	MPa	
naprężenia w stali	$\sigma a = Mp / Fz / z =$	219,8	MPa	

6. Obliczenie poprzeczny nad przyczółkiem

6.1. Faza 1

Wymiary części poprzeczny wykonanej w fazie 1

długość poprzeczny	$Lp =$	4,20	m
szerokość	$b =$	60	cm
wysokość	$h =$	27,0	cm

belki stalowe ustawiane będą na złączonym betonie poprzeczny na "stołeczkach" 35x25x 2,5 cm z masy sztywnością

Zbrojenie dołem i strzemiona wg niżej podanych obliczeń dla pełnego obciążenia z fazy 1 i 2.

poprzeczna spoczywa na ciągłym podparciu do czasu związania betonu w płycie i pozostałej części poprzeczny.

6.2. Faza 2

max reakcja od .q2 i t

Moment na wsporniku

Zbrojenie dołem

Moment w środku

zbrojenie dołem 5 Φ 12

Naprężenia w betonie

naprężenia w stali

Ścinanie w fazie 2

beton przenosi

Strzemiona Φ 12

ilość cięć

strzemiona przenoszą

razem

Zbrojenie górą

Przyjęto górą 5 Φ 12

Naprężenia w betonie

naprężenia w stali

$R t =$	821	kN	obc.ciągłe	$qt = 245 / 4,20 =$	195,5	kN/m
$Mwt = -0,85 \times 0,85 / 2 \times 195,5$	-70,6	kNm				
$Mk = (2,5 \times 2,5 / 8 - 0,85 \times 0,85 / 2) \times 195,5 =$	82,1	kNm				
$b =$	60	cm				
$h = 103 - 15 =$	88	cm				
$a =$	4	cm				
$h1 =$	84	cm				
$Fz =$	5,65	cm ²	$X =$	25,7	cm	$z =$ 79,4 cm
$\sigma b =$	1,3	MPa				
$\sigma a =$	183	MPa				
$Q2 L = 195,5 \times 0,85 =$	166,2	kN				
$Q2 P = 821 / 2 - 166,2 =$	244,4	kN				
$\tau = 244,4 / 0,819 \times 0,60 =$	0,51	Mpa			$\tau b =$ 0,28	Mpa
$m = 1 + 50 \times Fz / b / h1 =$	1,056					
$Qb = 0,28 \times 1,056 \times 0,60 \times 0,794 =$	0,141	MN			$Ra =$ 141	kN
$f s =$	1,131	cm ²	$s =$	30	cm	$MN =$ 200
$c =$	4	rozstaw				
$Qs = 0,0001131 \times 200 \times 4 \times 79,4 / 30 =$	0,240	cm			$MN =$ 240	kN
$Q n = Qb + Qs =$	381	kN	>	244,4	kN	

Ostatecznie przyjmuję wykonanie poprzeczny w Fazie 1 i na czas betonowania płyty opartej na ciągłym oparciu na ławie podłożyskowej zbrojenie dołem i górą 5 Φ 12 strzemiona Φ 12 co 30 cm 4 cięte

Sprawdzenie poprzeczny jako belki podłewarowej (wymiana łożysk)

Reakcja z przesła (obc. q1 i q2 po związaniu betonu w przesle)

Podnoszenie na 3 lewarach w odstępach co $d =$ 1,65 m

Reakcja na poprzecznicę z przesła - wg wydruków komputerowych

$Rc = 498 + 78 =$ 576 kN

Schemat statyczny belka 2 przęsłowa

reakcje $R1 = 0,375 \times 1,65 \times 137,2 =$ 84,9 kN

$R2 = 1,250 \times 1,65 \times 137,2 =$ 283,0 kN

Moment przęsłowy $M(1-2) = 0,0703 \times 1,65 \times 137,2 =$ 26,3 kNm

Moment podporowy $M2 = -0,125 \times 1,65 \times 137,2 =$ -46,7 kNm

Siły wewnętrzne występujące podczas podnoszenia są mniejsze od sił na które obliczona jest poprzeczna.

ok.!

7. OBLICZENIA RAMOWNICY GŁÓWNEJ

Statyka ramownicy wg własnego programu komputerowego n (wyniki w pliku RAMA.2 .dat)

Siły w ramownicy ustroju niosącego

Wpływy termiczne (schemat nr 8)

przemieszczenie węzła nr 6 i 16 od sił poziomych $H = 1000$ kN zacznionych w tych węzłach

węzeł nr 6 $x4 =$ 0,02151 cm

węzeł nr 12 $x12 =$ -0,03274 cm

wydłużenie między węzłami 6 i 16 $\Delta x = 0,02151 + 0,03274 = 0,05425$ cm
wydłużenie między węzłami od podniesienia temperatury o 35 stopni
 $\Delta L(t) = 0,000012 \cdot (45 - 10) \cdot x \cdot 2400 = 1,008$ cm
mnożnik $\alpha = \Delta L(t) / \Delta x = 1,008 / 0,05425 = 18,58$
Obliczeniowe wartości sił wewnętrznych w ryglu otrzymujemy mnożąc
wartości dla schematu nr 8 przez mnożnik $\alpha = 18,58$
obciążenie ciągle w fazie 2 - po związaniu betonu pł $q_2 = -0,12$ kN/m
obciążenie tłumem na kładce szeokości 4,0 m $t = 24,00$ kN/m

7.1. Reakcje z obciążenia ramownicy

Schematy przyjęte w obliczeniach ramownicy	q2 [kN/m]	Reakcje podporowe [kN] dla fazy 2				Σ ω Σ obc.
		R1 (y) kN	R12(y) kN	R22(y) kN	R27(y) kN	
Pole galezi ω Lw Ri		9,404	26,606	26,588	9,402	72,00
obciążenie stałe	q2 = -0,12	-1	-3	-3	-1	
od obc ruchomego	t = 24,00					
wg schematu nr 1	ω	9,404	26,61	26,59	9,402	72,00
		226	639	638	226	1728
wg schematu nr 2	ω	9,2637	28,533	10,851	-0,649	48,00
		222	685	260	-16	1152
wg schematu nr 3	ω	-0,7986	12,783	12,804	-0,790	24,00
		-19	307	307	-19	576
wg schematu nr 4	ω	10,062	15,750	-1,953	0,141	24,00
obc. 1 przęsła skrajne		241	378	-47	3	576
wg schematu nr 5	ω	10,202	13,822	13,783	10,192	48,00
obc.2 przęsła skrajne		245	332	331	245	1152
max reakcje		244	682	635	243	
min. reakcje		-20	-3	328	-20	
wpływ termiczne sch. 8		-0,239	0,301	0,208	-0,2700	
wzrost temperatury α = 18,58		-4	6	4	-5	
spadek temperatury		4	-6	-4	5	
Łączne reakcje						
pionowe na głowice						
słupów	max	245	682	635	243	
	min	-20	-3	328	-20	
ciężar oczepu	399		399	399		
Reakcje z fazy 1 q 1 = 42,14		498	1011	1011	498	
ciężar poprzecznic skrajnej		78			78	
Razem reakcje	max	821	2092	2045	820	
	min	556	1407	1738	58	
ciężary słupów			45	59	0	
razem w podstawie	max		2137	2104	820	
słupów	min		1452	1797	58	
momenty z uwzględnieniem						
mimośrodru słupa względem osi przęsła e = 0,20 m						
momenty M y	max dla Rmax		427	421	164	
	min dla Rmin		290	359	12	

Uwaga!

Ponieważ wpływ temperatury wywołuje reakcje mniejsze od 5% od obciążeń od ciężaru własnego mogą być pominięte w obliczeniach reakcji podporowych.

Ciężar własny podpór pośrednich

ciężar własny oczepów $G_o = 233,4 + 165,5 = 399$ kN
ciężary słupów $D = 0,80$ m
podpory nr 2 wys. H1 = 3,00 m $G_{s1} = 3,00 \times 0,80 \times 0,80 \times 3,14 / 4 \times 25 \times 1,2 = 45$ kN
podpory nr 3 wys. H1 = 3,90 m $G_{s1} =$ 59 kN

7.2 Momenty zginające w ryglu ramownicy

Tabela 13

Schematy przyjęte w obliczeniach ramownicy	qi kN/m	Momenty przęsłowe					Momenty podporowe			
		węzeł nr 3 M 3 kNm	węzeł nr 5 M5 kNm	węzeł nr 13 M13 kNm	węzeł nr 14 M 14 kNm	węzeł nr 25 M 25 kNm	węzeł nr 6 M 6L kNm	M 6P kNm	węzeł nr 16 M 16 (L) kNm	M 16(P) kNm
Pole gałęzi	ω	44,0416	-48,2062	-42,9332	17,680	44,021	-62,302	-54,443	-54,197	-62,354
ciężar własny	-0,12	-5	6	5	-2	-5	8	7	7	8
obciążenie tłumem schemat 1	ω	44,0416	-48,2062	-42,9332	17,680	44,0210	-62,302	-54,443	-54,197	-62,354
	t = 24,00	1057	-1157	-1030	424	1057	-1495	-1307	-1301	-1496
schemat 2	ω	42,636	-51,4378	-53,0936	27,173	-6,487	-65,674	-53,094	-35,417	-18,947
	t = 24,00	1023	-1235	-1274	652	-156	-1576	-1274	-850	-455
schemat 3	ω	-7,986	-18,3681	-23,565	36,767	-7,895	-19,167	-35,050	-35,417	-18,947
	t = 24,00	-192	-441	-566	882	-189	-460	-841	-850	-455
schemat 4	ω	50,622	-33,0696	-29,5286	-9,594	0,141	-46,508	-31,341	12,154	0,324
	t = 24,00	1215	-794	-709	-230	3	-1116	-752	292	8
schemat 5	ω	52,028	-29,8380	-19,3681	-19,087	51,916	-43,136	-19,394	-18,780	-30,098
	t = 24,00	1249	-716	-465	-458	1246	-1035	-465	-451	-722
razem momenty	max	1243	6	5	880	1241	8	7	298	15
	min	-197	-1229	-1269	-460	-195	-1569	-1300	-1294	-1489
temperatura +/- α =	18,58	0,0024	5,500	-3,400	-0,0041	0,0027	-0,00574	-0,00334	-0,00481	0,00648
schemat nr 6		0,04	102	-63	-0,08	0,05	-0,11	-0,06	-0,09	0,12
Ekstremalne momenty w ryglu	max	1243	108	68	880	1241	8	7	298	15
	min	-197	-1331	-1332	-460	-195	-1569	-1300	-1294	-1489

7.3. Momenty w słupach podpór pośrednich

Kierunek wzdłuż osi kładki

Mx

Tabela 14

Schematy przyjęte w obliczeniach ramownicy	qi kN/m	Momenty w słupach filarów D=80cm spód słupów	
		fil nr 2 węzeł nr 7 kNm	fil nr 3 węzeł nr 17 kNm
Pole gałęzi Lw Mi Faza 1	ω		
obciążenie stałe q2 [kN/m]	-0,12	-1,734	0,539
od obc ruchomego t = 24,00		0,2	-0,1
wg schematu nr 1	ω	-1,734	0,539
	$\omega * t$	-42	13
wg schematu nr 2	ω	-2,971	-3,113
	$\omega * t$	-71	-75
wg schematu nr 3	ω	3,513	-1,081
	$\omega * t$	84	-26
wg schematu nr 4	ω	-6,484	-2,032
	$\omega * t$	-156	-49
wg schematu nr 5	ω	-5,247	1,620
	$\omega * t$	-126	39
max momenty schemat nr 1	max	85	39
min. momenty schemat nr 1 + 2 ; 3	min	-155	-75
temp. $\Delta t = + / - 35$ $\alpha =$	18,58	0,947	-0,548
schemat nr 8		18	-10
Razem momenty	max	85	39
	min	-155	-75
uderzenie w słup sch.10 siła K = 600x0,25x1,10=165	η	-0,498	0,182
	$\eta * K$	-82	30
min. momenty		-238	-75
max. momenty		85	69

Tabela 14a

Schematy przyjęte w obliczeniach ramownicy	qi kN/m	Momenty w słupach filarów D=80cm głowica słupów	
		fil nr 2 pręt 6-7 kNm	fil nr 3 pręt 16-17 kNm
pole gałęzi Lw Faza 1	ω		
obciążenie stałe q2 [kN/m]	-0,12	-7,859	8,158
od obc ruchomego t = 24,00		1	-1
wg schematu nr 1	ω	-7,859	8,158
	$\omega * t$	-189	196
wg schematu nr 2	ω	-0,716	-7,696
	$\omega * t$	-17	-185
wg schematu nr 3	ω	18,360	-16,470
	$\omega * t$	441	-395
wg schematu nr 4	ω	-15,167	8,774
	$\omega * t$	-364	211
wg schematu nr 5	ω	-23,743	24,627
	$\omega * t$	-570	591
max momenty schemat nr 4	max	442	590
min. momenty schemat nr 3	min	-569	-396
temp. $\Delta t = + / - 35$ $\alpha =$	18,58	-0,405	-0,127
schemat nr 8		-8	-2
Razem momenty	max	442	590
	min	-127	-188
uderzenie w słup sch.10 siła K = 600x0,25x1,10=165	η	0,920	-0,180
	$\eta * K$	152	-30
przyp. nie miarodajny			
min. momenty		-127	-218
max. momenty		593	590

7.4. Zestawienia obciążeń słupów filarów do wymiarowania przekroju

Tabela 15

Faza 1 - stan montażowy (głowica słupa)										
schematy obciążenia do wymiarowania	Kierunek Y				Kierunek X			Obciążenie słupa do wymiarowania		
	siła V kN	mimośród ey m	Moment My My = ey*V kNm	Pozioma Hy kN	Pozioma Hx kN	ex m	Mx kNm	Moment wypadkowy Mw kNm	Siła w słupie V kN	mimośród ew = Mw/R m
obc. jednostronne	974		664	0	0		66	668	974	0,69
obc. symetryczne	1380		288	0	0		53	292	1380	0,21
Faza 2 - stan docelowy										
głowica słupa węzeł nr 6 (podpora nr 2)										
ekstremalny moment Mx i towarzysząca siła normalna V i pozioma Hx										
schemat 1	1739	0,20	348				-127	370	1739	0,21
schemat 2	1785	0,20	357				593	693	1785	0,39
ekstremalna siła V i towarzyszący moment Mx i siła Hx										
schemat 3	2092	0,20	418				-188	459	2092	0,22
głowica słupa węzeł nr 16 (podpora nr 3)										
ekstremalny moment Mx i towarzysząca siła normalna V i pozioma Hx										
schemat 4	1668	0,20	334				-188	383	1668	0,23
schemat 5	1738	0,20	348				590	685	1738	0,39

ekstremalna siła V i towarzyszący moment Mx i siła Hx									
schemat 6	2045	0,20	409			165	441	2045	0,22
Podstawa słupa węzeł nr 7 (podpora nr 2)									
ekstremalny moment Mx i towarzysząca siła normalna V i Hx									
schemat 10 *)	1784	0,20	580	51,1	-181	-238	627	1784	0,35
schemat 11 *)	1759	0,20	621	51,1	-181	85	627	1759	0,36
ekstremalna siła V i towarzyszący moment Mx									
schemat 12*)	2137	0,20	651	51,1	-181	-124	662	2137	0,31
podstawa słupa węzeł nr 17 (podpora nr 3)									
ekstremalny moment Mx i towarzysząca siła normalna V i Hx									
schemat 13*)	1726	0,20	614	51,1	-268	-75	619	1726	0,36
schemat 14*)	2104	0,20	690	51,1	-268	69	693	2104	0,33
ekstremalna siła V i towarzyszący moment Mx									
schemat 15*)	2104	0,20	690	51,1	-268	88	696	2104	0,33

Uwaga ! Schematy z indeksem *) nr 10 - 15 uwzględniają wpływ parcia wiatru MY w
uwzględniono został moment od parcia wiatru

Myw = 223 kNm filar nr 2
Myw = 269 kNm filar nr 3

Miarodajnym do wymiarowania przekroju jest obciążenie wg schematu nr 1 - betonowanie jednostronne płyty pomostu kładki
wymiarowanie wykonano wg programu własnego zbrojenie stal A-II (18G2-b) 16 Φ 25 **Fz = 78,54 cm2**

naprężenia w betonie $\sigma_b = 16,12$ MPa
naprężenia w zbrojeniu $\sigma_a = 289,55$ MPa

7.5. Siły tnące w przekrojach przęsa zespolonego

Tabela 16

Schematy obciążeń	qi [kN/m]	Siły tnące w ryglu ramownicy dla fazy 2						
		R1 (y) kN	Q3 kN	Q5 kN	Q6L kN	Q6P kN	Q13 kN	Q25 kN
Pole gąłęzi ω Lw Ri		9,404	-0,260	-13,596	-14,596	13,598	11,01003	0,598
obciążenie stałe								
faza 1+2 q1 + q2 =	-0,12	-1	0	2	2	-2	-1	0
od obciążenia								
t = 24,00								
wg schematu nr 1								
ω	9,404	-0,736	-13,596	13,598	13,598	11,01003	0,598	
ω * t	226	-18	-326	326	326	264	14	
wg schematu nr 2								
ω	9,2637	-0,7363	-13,7364	-14,737	12,797	12,797	0,6487	
ω * t	222	-18	-330	-354	307	307	16	
wg schematu nr 3								
ω	-0,7986	-0,7986	-0,7986	3,017	11,985	10,9847	0,790	
ω * t	-19	-19	-19	72	288	264	19	
wg schematu nr 4								
ω	10,062	0,0623	-12,938	-13,938	1,8124	1,8124	-0,1408	
ω * t	241	1	-311	-335	43	43	-3	
wg schematu nr 5								
ω	10,203	0,2028	-12,797	-13,798	0,0256	0,0256	-0,1916	
ω * t	245	5	-307	-331	1	1	-5	
temp. Δt = +/- 35 α =	18,58	-0,240	-0,240	-0,240	-0,240	0,060	-0,060	0,270
schemat nr 6		-4	-4	-4	-4	1	-1	5
razem siły tnące								
max Qi		244	5	-22	74	307	307	19
min Qi		-20	-18	-332	-356	-3	-2	-5

7.6. Siły tnące w słupach podpór pośrednich

Kierunek wzdłuż osi kładki

Qx

Tabela 17

Schematy obciążenia wg topologii ramownicy główniej ustroju nośnego kładki	Obciążenia qi kN/m	Siły tnące w słupach filarów D=80cm spód słupów		Kombinacje schematów obciążenia
		filar nr 2 węzeł nr 7 kNm	filar nr 3 węzeł nr 17 kNm	
Pole gąłęzi Lw Qi	ω			
Faza 1				
schemat 0				
obciążenie stałe				
q2 [kN/m]	-0,12	-0,2	0,2	
od obciążenia				
t = 24,00				
wg schematu nr 1				
ω	1,494	-1,494		
ω * t	36	-36		
wg schematu nr 2				
ω	-0,8993	0,8986		
ω * t	-22	22		
wg schematu nr 3				
ω	-3,0171	3,0173		
ω * t	-72	72		
wg schematu nr 4				
ω	2,118	-2,1187		
ω * t	51	-51		
wg schematu nr 5				
ω	4,5108	-4,5111		
ω * t	108	-108		
max siły tnące				
schemat nr 0 i 2	max	108	73	schemat nr 0 + 5
min. Siły tnące				
schemat nr 0 i 3	min	-73	-108	nr 0 + 5
temp. Δt = +/- 35 α =				
ω	2,770	-2,77		
schemat nr 8	18,58	51	-51	
Razem siły tnące				
max		160	124	
min		-124	-160	
uderzenie w słup sch.10				
siła K = 600x0,25x1,10=				
165	η	-0,346	-0,654	
	η * K	-57	-108	
max. siły tnące		102	16	nr 0 + 5 + 11
min. siły tnące		-181	-268	

Przyjęte schematy obciążenia do obliczenia pali

7.7. Podpory nr 2 i 3

Wymiary ławy wieńczącej pale fundamentowe szerokość $b_x = 1,60$ m
 wysokość $b_y = 4,50$ m
 $h = 1,50$ m
 Ciężar ławy $G_w = 1,60 \times 1,50 \times 4,50 \times 15,0 \times 1,20 = 324$ kN

7.7.1. Zestawienie zbiorcze obciążenia palowania podpór pośrednich

Srednica pala $D = 0,90$ m
 Pole przekroju pala $F_d = 0,636$ m² $W_{xp} = 0,0716$ m³
 Wytrzymałość betonu na rozciąganie $R_{aw} = 1,05$ MPa $= 1050$ kPa

Tabela 18										
	siła pionowa V kN	kierunek X - wzdłuż kładki moment Mx kNm	siła pozioma Hx kN	kierunek prostopadły - Y Moment My kNm	siła pozioma Hy kN	Siły w części podziemnej pali			siły pionowe w palach	
						w trzonie Mz kNm	głębokość hz m	w stopie Mo kNm	N min kN	Nmax kN
Podpora nr 2										
schemat nr 10 ciężar ławy Razem moment wypadkowy	1784 324					Pale długości L = 7,00 m				
	2108	-238	-181	580	51,1	170	2,80	62	852,21	1255,59
				627		naciski pod stopą		σ min	472	1106
								σ max	2207	2841
schemat nr 11 ciężar ławy Razem	1759 324									
	2083	85	-181	621	51,1	130,88	3,50	69	827,8	1255,20
						naciski pod stopą		σ min	334	1006
								σ max	2268	2940
schemat nr 12 ciężar ławy Razem	2137 324									
	2461	-124	-181	651	51,1	141,99	2,80	67	1000,82	1452,80
						naciski pod stopą		σ min	634	1344
								σ max	2513	3223
Podpora nr 3										
schemat nr 13 ciężar ławy razem	1726 324					Pale długości L = 6,00 m				
	2050	-75	-268	614	51	132,00	3,00	107	850,6	1253,4
						naciski pod stopą		σ min	-158	475
								σ max	2832	3465
schemat nr 14 ciężar ławy	2104 324									
	2428	69	-268	690	51	136,35	3,00	108	991,7	1436,3
						naciski pod stopą		σ min	43	742
								σ max	3075	3774
schemat nr 15 ciężar ławy razem	2104 324									
	2428	88	-268	690	51	140,49	3,60	134	991,70	1436,30
				696		naciski pod stopą		σ min	-310	388
								σ max	3428	4127

Podpora nr 3 - ława fundamentowa skrócona względem osi oczepu (równoległa do drogi)										
schemat nr 13	1726					Pale długości L = 6,00 m				
ciężar ławy	324									
razem	2050	-75	-268	614	0	147,00	4,20	138,79	696,2	1353,8
moment wypadkowy				619		naciski pod stopą		σ min	-845	189
								σ max	3034	4067
schemat nr 14	2104									
ciężar ławy	324									
razem	2428	69	-268	690	0	153,67	3,60	140	864,1	1536,9
						naciski pod stopą		σ min	-600	458
								σ max	3316	4374
schemat nr 15	2104									
ciężar ławy	324									
razem	2428	88	-268	690	0	140,49	3,60	142	858,20	1569,80
						naciski pod stopą		σ min	-634	485
								σ max	3332	4450
schemat nr 16-montaż.	974									
ciężar ławy	324									
razem	1298	0	0	668		145,13	0,00	31,08	411,60	884,4
						naciski pod stopą		σ min	213	956
								σ max	1081	1824

Dopuszczalny nacisk na skakę miękką pod stopą pala pograżonego na min. 3 D w skałę wynosi $\sigma_{dop} = 6,0$ MPa
 współczynnik bezpieczeństwa $\eta = 1,62$ czyli $\sigma_{dop} = 6,0 / 1,68 = 3,70$ MPa dla obc.charakt.
 max.nacisk obliczeniowy pod stopą pala wynosi $\sigma_{max} = 4450$ kPa $= 4,45$ MPa
 i odpowiednio nacisk od obciążeń charakterystycznych przy $\gamma = 1,33$ $\sigma_{r max} = 4,45/1,33 = 3,35$ MPa
 Przyjęte długości i średnice pali spełniają warunki wytrzymałościowe .
 Zbrojenie pali 90cm

$F_z \min = F_{bx} 0,005 = 90 \times 90 \times 3,14 / 4 \times 0,005 = 31,8$ cm² przyjęto 16 Φ 16 $F_z = 32,16$ cm²
 Osiowa nośność pala $N = 3,70 \times 0,636 = 2,356$ MN $= 2356$ kN

7.7.2 Momenty w palach podpór nr 2 i 3

Kierunek wzdłuż osi kładki

Mx

Tabela 19

Schematy obciążeń	q _i kN/m	Momenty na 2 pale filarów D = 90cm górną ławę wieńczącą	
		filar nr 2 węzeł 7 kNm	filar nr 3 węzeł 17 kNm
Faza 2			
obciążenie stałe	ω	-1,7343	0,5389
q ₂ [kN/m]	-0,12	0	0
od obc. ruchomego	t =		
t = 24,00			
wg schematu nr 1	ω	-1,7343	0,5389
	ω * t	-42	13
wg schematu nr 2	ω	-2,971	-3,113
	ω * t	-71	-75
wg schematu nr 3	ω	3,513	-1,081
	ω * t	84	-26
wg schematu nr 4	ω	-6,484	-2,0316
	ω * t	-156	-49
wg schematu nr 5	ω	4,511	-4,511
	ω * t	108	-108
max momenty schemat nr 5	max	108	13
min. momenty schemat nr 1 + 4	min	-155	-108
temp. Δt = +/- 35 α =	18,58	0,00452	-0,00605
schemat nr 8		0	0
Razem momenty	max	108	13
	min	-155	-49
uderzenie w słup sch.10	η	-0,498	0,182
siła K = 600x0,25x1,10 = 165	η * K	-82	30
max. Momenty		108	13
min. momenty		-238	-19

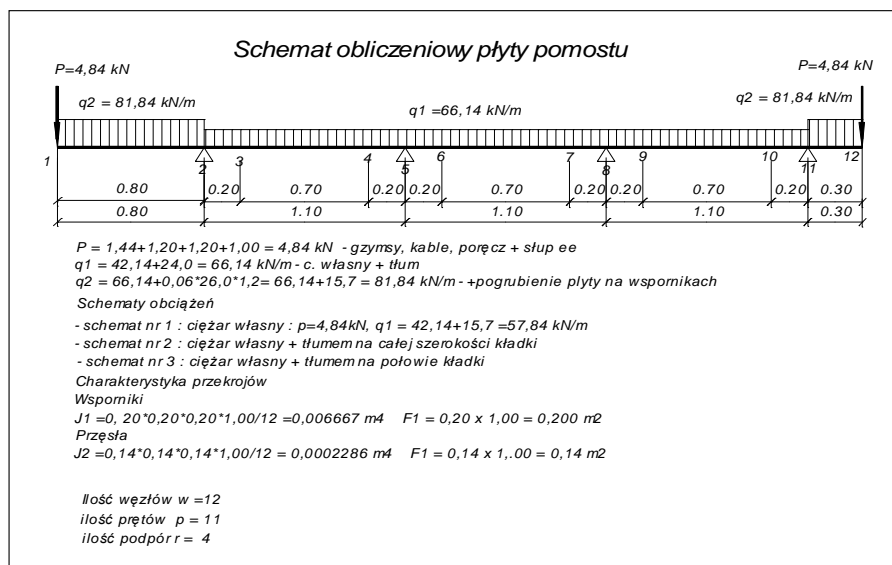
Momenty w stopach pali Mx

Tabela 20

Schematy obciążeń	q _i kN/m	Momenty na 2 pale filarów D = 90cm spód pali	
		filar nr 2 węzeł 12 kNm	filar nr 3 węzeł 22 kNm
Faza 2			
obciążenie stałe	ω	-1,71796	1,77814
q ₂ [kN/m]	-0,12	0	0
od obc. ruchomego	t =		
t = 24,00			
wg schematu nr 1	ω	-1,718	1,778
	ω * t	-41	43
wg schematu nr 2	ω	0,121	-1,486
	ω * t	3	-36
wg schematu nr 3	ω	3,472	-3,590
	ω * t	83	-86
wg schematu nr 4	ω	-3,335	2,1049
	ω * t	-80	51
wg schematu nr 5	ω	-5,190	5,369
	ω * t	-125	129
max momenty schemat nr 0 + 5	max	84	129
min. momenty schemat nr 0 + 3	min	-124	-86
temp. Δt = +/- 35 α =	18,58	1,9	3,018
schemat nr 8		35	56
Razem momenty	max	119	185
	min	-160	-142
uderzenie w słup sch.10	η	-0,193	-0,771
siła K = 600x0,25x1,10 = 165	η * K	-32	-127
max. M - obc. wyjątkowe		87	58
min. M - obc. wyjątkowe		-192	-270

Momenty w stopie pala utwierdzonego w podłożu skalnym [Mo] obliczono wg programu "PAL" - wyniki zestawiono w tabeli nr 18

8. Wymiarowanie płyty pomostu



Siły wewnętrzne obliczono wg programu "Belka"

8.1. Przekrój wspornikowy (węzeł nr 2)

M =	-30,061 kNm	Q =	70,312 kNm
Przyjęte zbrojenie	Φ12 co 15		
Fz =	7,54 cm ² /1m		
n =	15	Ra =	285 MPa
b =	100 cm		
h =	20 cm	a =	3 cm
h ₁ =	17 cm		
X =	5,17 cm		
Z =	15,28 cm		
σ _b =	7,61 MPa		
σ _a =	261 MPa		
τ = Q / b / z =	0,46 MPa	> τ _B =	0,28 MPa

Siła tnąca przenoszona przez beton
 $\mu = F_z / b / h_1 = 0,004435$ $k = 1 + 50 \cdot \mu = 1,22176471$
 $Q_b = \tau_b \cdot k \cdot b \cdot z = 0,0523$ MN = 52,3 kN

Siła tnąca przenoszona przez strzemiona
 $R_a = 200$ MPa
 $\phi 10$ $f_s = 0,785$ cm2
 $c = 4$ cięte
 $s = 25$ cm

Siła tnąca przenoszona przez strzemiona
 $Q_s = f_s \cdot c \cdot z / s \cdot R_a = 0,0384$ MN = 38,4 kN
 nośność przekroju na ścinanie $Q = Q_b + Q_s = 90,7$ kN >> 70,312 kN

8.2. Przekrój przęsłowy (węzeł nr 3)

$M = -18,702$ kNm $Q = 50,178$ kN

Przyjęte zbrojenie $\Phi 12$ co 15
 $F_z = 7,54$ cm2/ 1m
 $n = 15$ $R_a = 295$ MPa
 $b = 100$ cm
 $h = 14$ cm $a = 3$ cm
 $h_1 = 11$ cm
 $X = 3,98$ cm
 $Z = 9,67$ cm
 $\sigma_b = 9,71$ MPa
 $\sigma_a = 256$ MPa
 $\tau = Q / b / z = 0,519$ < 285 MPa
 $\tau = 0,28$ MPa

Siła tnąca przenoszona przez beton
 $\mu = F_z / b / h_1 = 0,006855$ $k = 1 + 50 \cdot \mu = 1,3427$
 $Q_b = \tau_b \cdot k \cdot b \cdot z = 0,0364$ MN = 36,4 kN

Siła tnąca przenoszona przez strzemiona
 $R_a = 200$ MPa
 $\phi 10$ $f_s = 0,785$ cm2
 $c = 4$ cięte
 $s = 25$ cm

Siła tnąca przenoszona przez strzemiona
 $Q_s = f_s \cdot c \cdot z / s \cdot R_a = 0,0243$ MN = 24,3 kN
 nośność przekroju na ścinanie $Q = Q_b + Q_s = 60,7$ kN >> 50,178 kN

8.3. Przekrój przęsłowy (węzeł nr 4)

$\max M = 0,599$ kNm $Q_4 = 6,142$ kN
 Przyjęte zbrojenie $\Phi 12$ co 15 strzemiona zbędne

8.4. Przekrój przęsłowy (między węzłami nr 6 - 7)

$M = 5,949$ kN $Q = 0$ kN

Przyjęte zbrojenie $\Phi 12$ co 30
 $F_z = 3,77$ cm2/ 1m
 $n = 15$ $R_a = 295$ MPa
 $b = 100$ cm
 $h = 14$ cm $a = 3$ cm
 $h_1 = 11$ cm
 $X = 3,01$ cm
 $Z = 10,00$ cm
 $\sigma_b = 3,96$ MPa
 $\sigma_a = 158$ MPa
 $\tau = Q / b / z = 0,000$ MPa $\tau_b = 0,28$ MPa

Siła tnąca przenoszona przez beton
 $\mu = F_z / b / h_1 = 0,003427$ $k = 1 + 50 \cdot \mu = 1,1714$
 $Q_b = \tau_b \cdot k \cdot b \cdot z = 0,0328$ MN = 32,8 kN > Q

Strzemiona są zbędne
 Siła tnąca przenoszona przez strzemiona
 $R_a = 200$ MPa
 $\phi 10$ $f_s = 0,785$ cm2
 $c = 4$ cięte
 $s = 25$ cm

Siła tnąca przenoszona przez strzemiona
 $Q_s = f_s \cdot c \cdot z / s \cdot R_a = 0,0251$ MN = 25,1 kN
 nośność przekroju na ścinanie $Q = Q_b + Q_s = 57,9$ kN >> 0 kN

9. Zespoleenie płyty z belkami stalowymi - opórki sztywne

Moment statyczny płyty względem osi obojętnej przekroju zespolonego
 $S_x b = 130 \times 14 \times (25,2 - 14/2) / 6,288 = 5334$ cm3 = 0,005334 m3
 Moment bezwładności $J_{xz} = 366221$ cm4 = 0,00366221 m4

Przesło skrajne				Przesło środkowe			
Q1 =	244	kN =	0,244	MN	na 4 belki		
Q5L =	-332	kN =	-0,332	MN	na 4 belki	Q13 =	0,307 MN na 4 belki
nad przyczółkiem	Q'1 = 0,244 x 0,273 =	0,067	kN/ belkę skrajną			Q'13 =	0,084 kN/ belkę skrajną
nad filarem	Q'5 = 0,332 x 0,273 =	0,092	kN/ belkę skrajną				
9.1. Siła rozwarstwiająca od temperatury- wg wydruków komputerowych (plik "Zesp3SK..dat")	$\sigma_g = 2,735$	MPa	góra opórki			$\sigma_g = 3,111$	MPa góra opórki
- od skurczu betonu + temp	$\sigma_d = 5,476$	MPa	dół			$\sigma_d = 4,822$	MPa dół
- od temperatury	razem $\sigma(g+d) = 8,211$	MPa				$\sigma(g+d) = 7,933$	MPa
wysokość opórki	$h_s = 0,12$	m					
szerokość	$a = 0,20$	m					
siła rozwarstwiająca	$T_t = 8,211 \times 0,20 \times 0,12 / 2 =$	0,099	MN/m	od.t +sk		$T_t = 0,095$	
	$T_5' = Q_5L \cdot S_{xb} / J_x z =$	0,134	MN/m	od tłumu		$T'13 = 0,221$	MN/m
	$T_1' = Q_1 \cdot S_{xb} / J_x z =$	0,097	MN/m				
Razem	$T_5 = T_t + T_1' =$	0,233	MN/m				
	$T_1 = T_t + T_1' =$	0,196	MN/m				
rozstaw opórki co	$c = 0,33$	m				$c = 0,33$	m
Siła na opórkę	$T_{1,5} = T_5 \cdot c =$	0,077	MN =	77	kN	$T_{1,13} = 0,073$	MN
	$T_{1,1} = T_1 \cdot c =$	0,065	MN =	65	kN		

Przyjęte wymiary opórek

szerokość

a = 0,20 m

wysokość

h = 0,12 m

grubość

g = 0,032 m

Dociski

$\sigma_d = T_1 / (a \times h) = 3,2$ MPa

Zginanie w opórce

$M = (T \cdot h/2 + T_t \cdot 2/3 \cdot h) \cdot c = 0,00526$ MNm

Napężenia w opórce

$\sigma_o = M \cdot 6 / (a \cdot g \cdot g) = 154$ MPa

Spoiny łączące opórki z pasem blachownicy

a = 6 mm = 0,006 m

powierzchnia spoin

$F_{sp} = 2 \cdot a \cdot (g + a) = 0,00278$ m²

wskaznik wytrzymałości spoin

$W_s = a \cdot g \cdot (g + 3 \cdot a) / 3 = 0,0000404$ m³

$\sigma_a = M / W_s = 130$ MPa

$\tau_a = T_1 / F_{sp} = 28$ MPa

$\tau_{max} = \sqrt{\sigma_a^2 + \tau_a^2} = 133$ MPa

Wymiary opórek jak w belkach skrajnych

$\sigma_d = 3,03$ MPa

M = 0,00437 MNm

$\sigma_o = 128$ MPa

< 200 MPa

< 0,65 x 200 = 130 MPa

Pole wykresu sił tnących

c = 153x23,00/(153+116) = 12,50 m

wymagana ilość opórek na długości L

"c" n5 = F Q5 / T1 = 19 szt

i na długości

L - c = 23,0-12,50 = 10,50 m

n1 = FQ1 / T1 = 13 szt.

F Q5 = 0,233 x 12,50 / 2 = 1,455 MNm

F Q1 = 0,196 x 10,50 / 2 = 1,026 MNm

9.2. Rozmieszczenie opórek na przęsłach

kat nachylenia wykresu sił tnących

$\tan \alpha = (196 + 233) / 23,0 = 18,65217$

Odległości między siłami Q i

L1 - 5 = 23,00 m

Koniec przęsła skrajnego

Q5 = 233 kN/m

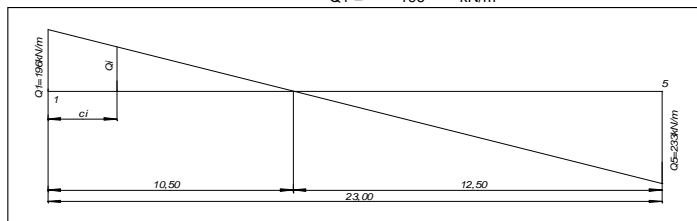
Q1 = 196 kN/m

Nośność opórek

L1 = 12,5 m

L2 = 10,5 m

T15 = 77 kN

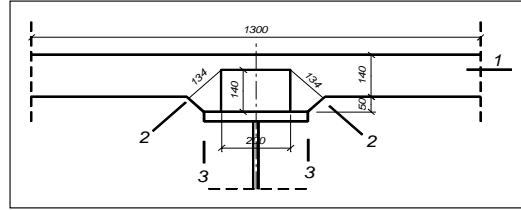


strona prawa - od Q5 = 233 kN						Tabela 21
	Rzędna Q5	odstęp z	Q= Qi-zi*tgα	Siła na opórkę	Odległości	odległość od Q5
	kN	m	kN	kN	m	m
opórka nr 1	233,00	0,33	226,84	76		0
opórka nr 2	226,84	0,33	220,69	74		
opórka nr 3	220,69	0,33	214,53	72	0,99	
opórka nr 4	214,53	0,36	207,82	76		0,99
opórka nr 5	207,82	0,36	201,10	74		
opórka nr 6	201,10	0,36	194,39	71	1,08	
opórka nr 7	194,39	0,40	186,93	76		2,07
opórka nr 8	186,93	0,40	179,47	73		
opórka nr 9	179,47	0,40	172,01	70	1,2	
opórka nr 10	172,01	0,45	163,61	76		3,27
opórka nr 11	163,61	0,45	155,22	72		
opórka nr 12	155,22	0,45	146,83	68	1,35	
opórka nr 13	146,83	0,50	137,50	71		4,62
opórka nr 14	137,50	0,50	128,17	66		
opórka nr 15	128,17	0,50	118,85	62	1,5	
opórka nr 16	118,85	0,65	106,72	73		6,12
opórka nr 17	106,72	0,65	94,60	65	1,3	7,42
opórka nr 18	94,60	0,80	79,68	70	0,80	8,22
opórka nr 19	79,68	1,00	61,03	70	1,00	9,22
opórka nr 20	61,03	1,35	35,85	65	1,35	10,57
opórka nr 21	35,85	1,93	-0,15	34	1,93	12,50
		12,5			12,50	
strona lewa - od QL = 196,00 kN						
opórka nr 1	196,00	0,33	189,84	63,7		0
opórka nr 2	189,84	0,33	183,69	61,6		
opórka nr 3	183,69	0,33	177,53	59,6	0,99	0,99
opórka nr 4	177,53	0,36	170,82	62,7		
opórka nr 5	170,82	0,36	164,10	60,3		
opórka nr 6	164,10	0,36	157,39	57,9	1,08	2,07
opórka nr 7	157,39	0,40	149,93	61,5		
opórka nr 8	149,93	0,40	142,47	58,5		
opórka nr 9	142,47	0,40	135,01	55,5	1,2	3,27
opórka nr 10	135,01	0,45	126,61	58,9		
opórka nr 11	126,61	0,45	118,22	55,1		
opórka nr 12	118,22	0,45	109,83	51,3	1,35	4,62
opórka nr 13	109,83	0,50	100,50	52,6		
opórka nr 14	100,50	0,50	91,17	47,9		
opórka nr 15	91,17	0,50	81,85	43,3	1,5	6,12
opórka nr 16	81,85	0,65	69,72	49,3		
opórka nr 17	69,72	0,65	57,60	41,4	1,3	7,42
opórka nr 18	57,60	0,80	42,68	40,1	0,80	8,22
opórka nr 19	42,68	2,28	0,15	48,8	2,28	10,50
		10,50			10,50	

9.4 Ścinanie w płycie

Momenty statyczne przekrojów niebezpiecznych - sprowadzone do stali

$$\begin{aligned} n &= 6,29 \\ S1-1 &= 1,30 \times 0,14 \times 0,12 / 6,29 = 0,0034731 \text{ m}^3 \\ b &= 1,30 \text{ m} \\ S2-2 &= (0,35 \times 0,050,025 + 0,29 \times 0,09 \times 0,095) / 6,29 = 0,0004639 \text{ m}^3 \\ b &= 0,134 \times 2 + 0,20 = 0,468 \text{ m} \\ S3-3 &= (0,30 \times 0,19 \times 0,19 / 2 - 0,20 \times 0,14 \times 0,14 / 2) / 6,29 = 0,0005494 \text{ m}^3 \\ b &= 0,38 \text{ m} \\ Q &= 0,092 \text{ MN} \\ J_z &= 0,004 \text{ m}^4 \\ \tau &= Q \cdot S_i / (J_z \cdot b_i) \\ \tau_1 &= 0,067 \text{ MPa} \\ \tau_2 &= 0,031 \text{ MPa} \\ \tau_3 &= 0,036 \text{ MPa} < \tau = 0,28 \text{ MPa} - \text{dla betonu C25/30} \end{aligned}$$



10. Poprzecznice belek stalowych

Przyjęto poprzecznicę z C 900 $J_y = 8030 \text{ cm}^4 = 0,000803 \text{ m}^4$
rozstaw poprzecznic $c = 2,00 \text{ m}$

Obliczenia wykonuję wg wzorów podanych w "Mosty stalowe" prof. A. Rzyński (str.252-257) - metoda mimośrodkowego ściskania

gdzie $\alpha = d^2 d' / (6 E J' \Delta p)$
 $d = 1,10 \text{ m}$ rozstaw dźwigarów
 $L = 23,25 \text{ m}$ rozpiętość dźwigara stalowego w fazie 1
 $J' = J_y / c = 4,015 \text{ E-05 m}^4/\text{m}$ jednostkowa sztywność przekroju Faza 1 - bez płyty
 $\Delta p = 5^* L^2 L' L'' p / (384^* E^* J_d) = 13,0$ ugięcie dźwigara od obc. równom. $p = 1,0 \text{ MN/m}$
 $J_d = 143308 \text{ cm}^4 = 0,00143308 \text{ m}^4$ moment bezwł. belki stalowej
 $\alpha = 0,0021$ ponieważ $0,00 < \alpha < 0,005$ może być stosowana w/w metoda
 $b_1 = 1,65 \text{ m}$ odległość belki nr 1 od osi
 $b_2 = 0,55 \text{ m}$ odległość belki nr 2 od osi
 $\Sigma b_i \cdot b_i = (0,55^2 + 1,65^2) \cdot 2 = 6,05$

10.1. Rzędne reakcji - (wg rys. 24.9 tab 24.1 "Mosty stalowe ")

Rzędna linii wpływu nad belkami Lw Ri									Tabela 22	
	belka nr 1 y1	belka nr 2 y2	belka nr 3 y3	belka nr 4 y4	y1'	y2'	y3'	y4'	z1	z1'
Reakcja R1	0,700				-0,20					
Reakcja R2		0,400				0,20				
Reakcja R3			0,400				0,20			
Reakcja R4				0,700				-0,20		
Momenty M 1									0,770	-0,220
Momenty M1-2									1,375	-0,220

10.2. Momenty zginające w poprzecznicach

Miarodajne do obliczeń jest obciążenie z fazy 1 - nie współpracuje płyta betonowa

$q_1 = 42,14 \text{ kN/m}$ na szerokości $b = 4,50 \text{ m}$ $q_1^* = 42,14 / 4,5 = 9,37 \text{ kN/m}$

rozstaw poprzecznic $t = 3,00 \text{ m}$

$M(2-3) = 2,771 \times 3,00 \times 9,37 = 77,9 \text{ kNm}$

$M_2 = 1,0306 \times 3,00 \times 9,37 = 29,0 \text{ kNm}$

$M_1 = -0,7228 \times 3,00 \times 2,0 = -20,3 \text{ kNm}$

Przyjęto C 300 $W_y = 535 \text{ cm}^3$

max. Moment przęsłowy $M = 77,9 \text{ kNm}$

Naprężenia w C 300 $\sigma = 146 \text{ MPa}$

Reakcja w poprzecznicach

$R_1 = 1,547 \times 9,37 \times 3,00 = 43,5 \text{ kN}$

$R_2 = 1,404 \times 9,37 \times 3,00 = 39,4 \text{ kN}$

10.3. Poprzecznice pakietów przyspawane będą do żeber środkika

Spoiny pionowe

spoiny pachwinowe grubości $a = 4 \text{ mm}$

długość spoin - $2 \times 30 \text{ cm}$ $l = 60 \text{ cm}$

$Q_{\max} = R_2 = 43,5 \text{ kN}$

ściananie w spoinach $\tau = 18 \text{ MPa}$

Spoiny poziome

siła pozioma

$S = M_1 / 0,30 = 29,0 / 0,30 = 68 \text{ kN}$

spoiny pachwinowe $a = 4 \text{ mm}$

$n = 2 \text{ szt.}$

długość 1 spoiny $l = 10 \text{ cm}$

$\tau = S / a \cdot n \cdot l = 85 \text{ MPa}$

wytrzymałość obl. spoiny

$R_t = 0,65 \times 200 = 130 \text{ MPa}$

Na poprzecznicach oparte będzie deskowanie płyty obciążenie ciągle na 1mb

$q = 9,37 \times 3,00 = 28,1 \text{ kN/m}$

reakcja (belka 3 przest.) $R_d = 30,9 \text{ kN}$

$M_d = 30,9 \times 1,10 / 3 = 11 \text{ kNm}$

naprężenia w poprzecznicach od oparcia deskowań $\sigma = 21 \text{ MPa}$

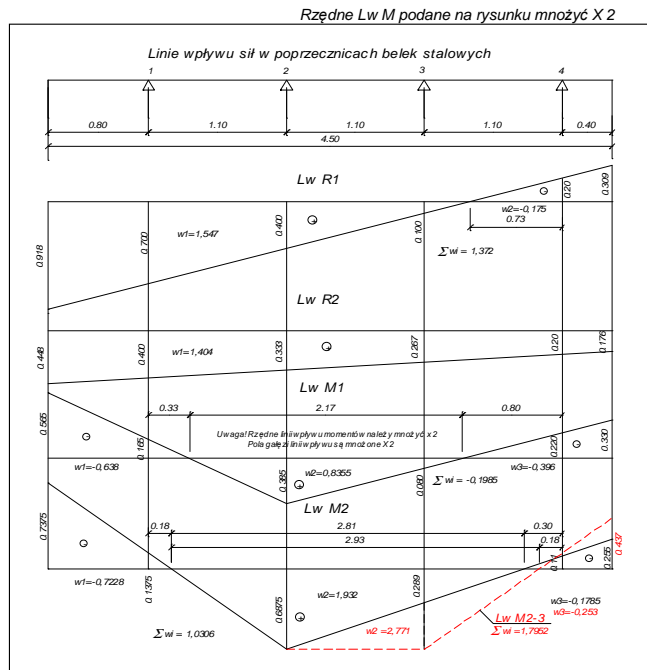
Razem naprężenia w C 300

$\Sigma \sigma = 146 + 21 = 167 \text{ MPa}$

$Q = 28,1 \times 1,10 / 2 = 15,5 \text{ kN}$

$\tau = 6 \text{ MPa}$

$\Sigma \tau = 85 + 6 = 91 \text{ MPa}$



W C 300 wycięty będzie otwór średnicy 200mm wzmocniony kołnierzem 60x5mm dla przepuszczenia kolektora .

Moment bezwładności osłabionego przekroju $J_y = 8030 - 20^2 \times 20^2 \times 1 / 12 + 6 \times 0,5^2 \times 2^9 \times 9,75 = 7934 \text{ cm}^4 = 7,934 \text{ E-05 m}^4$

$W_y = 7934 / 15 = 529 \text{ cm}^3$

i sumaryczne naprężenia w osłabionym przekroju C 300 zginanego w płaszczyźnie ścianki i przymocowanego ściankami do żeber

$\Sigma \sigma = 167 \times 535 / 529 = 169 \text{ MPa}$ $< R_a = 200 \times 0,90 = 180 \text{ MPa}$ **Stal S235J2**

zmniejszenie wytrzymałości obliczeniowej dla C 300

ściananie w przekroju osłabionym otworem $d=200 \text{ mm}$ $S_x = 0,016^2 \times 0,10^2 \times 0,142 + 0,034^2 \times 0,01^2 \times 0,117 = 0,000267 \text{ m}^3$ $R_2 = 39,4 \text{ kN}$

Moment statyczny przekroju $\tau = R_2 \cdot S_x / (J_y \cdot b) = 13,3 \text{ MPa}$ $< 115 \text{ MPa}$

10.4 Sprawdzenie poprzecznicy skrajnej na czas oparcia pakietu na oczepach

Ciężar przeszła 2 pakietów $G = 227$ kN wg wykazu stali $\gamma = 1,40$ wsp.obc.
 Ciężar obliczeniowy pakietu $G1 = G / 2 * \gamma = 158,9$ kN
 Na czas przygotowania "stołeczków" na oczepie pakiet będzie oparty w 2 punktach pod C300
 odl.oparcia od osi blachownic $a = 0,30$ m
 Reakcja na 1 podparcie $R1 = G / 4 = 39,7$ kN $< Q_{max} = 43,5$ kN
 Moment zginający w C300 $M1 = R1 \times a = 11,9$ kNm $< M(1-2) = 77,9$ kNm ok.!

Pakiety mogą być oparte na skrajnych poprzecznicach stalowych z C300

10.5 Połączenie pakietów za pomocą śrub sprężających M20 klasy 12,9

ilość śrub w połączeniu $k = 4$ szt
 rozstaw śrub w pionie $t = 18$ cm
 w poziomie od krawędzi $e1 = e2 = 6$ cm
 między śrubami $e3 = 6$ cm moment $M2 = 29,0$ kNm
 Siła pozioma przypadająca na 1 śrubę $S1 = M2 / t / (k/2) = 80,4$ kN
 Siła napinająca wg PN-85/S-10052(zat.4 tab Z4-2) $Pn = 200,8$ kN
 Moment dokręcania $Ms = 763$ Nm
 Nośność obliczeniowa 1 śruby M20 śruby w złączu
 $Ns = \mu * i * Pn = 80,3$ kN $= S1 = 80,4$ kN
 $i = 1$ liczba powierzchni tarcia w złączu
 $\mu = 0,40$ wsp.tarcia pow.stykowych (pow.przygotowane przez opalanie)
 $\mu = 0,45$ przez piaskowanie

Obliczył:
mgr inż.Tadeusz Mazurek

Sprawdził:
mgr inż..Grzegorz Rakowski

Koniec obliczeń

Lublin, październik 2015r

Część III OBLICZENIA PRZYCZÓŁKÓW NR 1 4 KŁADKI PIESZO - ROWEROWEJ W ŁĘCZNEJ

1 Dane wyjściowe

Rozpiętość teoretyczna przęsła Lt = 24,00 m
 Długość całkowita przęsła Lc = 23,65 m
 szerokość kładki j = 4,50 m
 klasa obciążenia ruchomego wg PN-85/S-10030
 obciążenie tłumem t = 4,00 kPa
 Wsp. dynamiczny φ = 1,273 nie dotyczy kładek
 szerokość płyty b = 4,40 m bez gzymsów prefabr.

2 Obciążenie z przęsła

2.1 Obciążenia pionowe

Obciążenie z przęsła				tabela 1			
LP	Wyliczenie ciężaru elementu przyczółek - podpora 1A	Obciążenie z przęsła przęsła [kN]			Momenty zginające względem osi przyczółka		
		charakt. R(c) kN	wsp.obc. γ	oblicz. R(r) kN	mimośród ex	ey	My =R(r) *ey
					m	m	kNm
1	2	3	4	5			
Faza 1							
	Reakcje na belki stalowe						
	belka nr 1	110	1,235	136	0	1,85	252
	belka nr 2	99	1,235	122	0	0,75	92
	belka nr 3	99	1,235	122	0	-0,35	-43
	belka nr 4	96	1,235	118	0	-1,45	-171
	razem z belek stalowych + płyta	404	1,235	498			130
	Ciężar poprzeczniczy						
	Gp = 0,60x1,03x4,20 x 25,0 =	65	1,200	78	0,00	0	0
	Razem obciążenie z Fazy 1	468	1,230	576		0,23	130
Faza 2							
3	Obciążenie od ciężaru q2	-1	1,2	-1		0,20	0
	Obciążenie tłumem t = 4,0 kN/m2						
	max.reakcja na całą szer.przęsła	163	1,5	245		0,20	49
	min.reakcja	-13	1,5	-20			
	Razem obciążenie w fazie 2	163		244			49
	łączna reakcja na przyczółek faza 1 i 2 R(1,2) = R1+R2	631		820		0,22	179

2.2. Siła pozioma z przęsła

Dobranie łożysk elastomerowych

Siła oporu w łożysku elastomerowym

Przemieszczenie poziome przęsła nad przyczółkiem od temperatury

$\Delta L = 36,00 \times 0,000012 \times (45-10) = 0,015$ m
 Rozstaw łożysk s = 2,5 m
 Reakcja na 1 łożysko My = 179 kNm
 Obciążenie pionowe przyczółka V = 820 kN
 Reakcje na łożysko N1 = 820 / 2 + 179 / 2,5 = 482 kN
 N2 = 820 / 2 - 179 / 2,5 = 339 kN
 Minimalna reakcja na łożysko Nmin = 576/2 - 130/2,5 - 20/4 = 231 kN
 przyjęto łożysko elastomerowe o nośności N = 630 kN typ 1 niekotwione
 wysokość całkowita łożyska hc = 41 mm dop.przesunięcie +/- 20 mm
 grubość elastomeru (3 warstwy) he = 29 mm
 wymiary łożyska a = 200 mm A = a * b = 0,050 m2
 b = 250 mm
 G = 0,90 MPa
 siła oporu w 1 łożysku elastomerowym T = $\Delta L * G * A / h_e = 0,02346$ MN = 23,46 kN / łożysko
 Siła oporu w 2 łożyskach elastomerowych Tt = 46,9 kN
 Min. naciski pod łożyskiem σ = N min / A = 4,6 MPa > 3,0 MPa

2.3. Ciężar własny przyczółka

2.3.1. Wymiary przyczółka wg załączonego rysunku nr 1. Obliczenia wykonano w tabeli 2.

Lp	Rodzaj obciążenia	WYMIARY ELEMENTU PRZYCZÓŁKA					CIĘŻAR		
		szerokość b [m]	długość L [m]	wysokość h [m]	Objętość V= b L h m3	ciężar jedn. [kN/m3]	charakt. Gc(i) [kN]	wsp. obc. δ	oblicz. Gr(i) [kN]
1	Korpus przyczółka	1,20	4,20	2,41	12,15	25,0	304	1,20	364
2	ścianka zapleczna	0,25	4,20	1,32	1,39	25,0	35	1,20	42
3	wspornik odciażający	3,70	0,90	0,30	1,00	25,0	25	1,20	30
4	Skrzydła								
4.1	Część trójkątna - szt.2	0,25	1,50	1,50	1,13	25,0	28	1,20	34
4.2	część górna - szt. 2	0,25	2,45	1,00	1,23	25,0	31	1,20	37
4.3.	wstawki między gzymsem a ścianą	0,10	2,45	0,20	0,10	25,0	2	1,20	3
4.3	gzymsy	0,05	2,45	0,40	0,10	25,0	2	1,20	3
4.4.	Razem ciężar własny przyczółka				17,08		427	1,20	512
5	Ciężar gruntu nad przyczółkiem								
5.1	nad płytą odciażającą	3,70	0,90	1,32	4,40	20,0	88	1,50	132
5.2	Razem grunt nad przyczółkiem						88	1,50	132
5.3	Łączny ciężar własny przyczółka						515	1,251	644
6	Reakcje z przęsła								
6.1	- od ciężaru własnego przęsła					z tab.1	468	1,23	576
6.2	- od obciążenia tłumem					z tab.1	163	1,50	244

2.3.2.2 Zebranie obciążeń działających na przyczółek - poziom 2 - 2 (spód przyczółka)

Lp	Rodzaj obciążenia	Odległość od osi łożysk e [m]	Ciężar przyczółka		Moment względem osi łożysk		tabela 3 położenie wypadkowej od osi łożysk ex [m]
			charakt. Gc(i) [kN]	oblicz. Gr(i) [kN]	charakt. Mc(Q) [kNm]	oblicz. Mr(Q) [kNm]	
	ława fundamentowa						
1	Korpus przyczółka	0,00	304	364	0	0	
2	ścianka zapleczna	-0,48	35	42	-16	-20	
3	wspornik odciażający	-1,05	25	30	-26	-31	
4	Skrzydła						
4.1	Część trójkątna - szt.2	-1,10	28	34	-31	-37	
4.2	część górna - szt. 2	-1,83	31	37	-56	-67	
4.3.		-1,83	2	3	-4	-5	
4.3	gzymsy	-1,83	2	3	-4	-5	
4.4	Razem w poziomie spodu przyczółka		427	512	-138	-166	-0,32
5	Ciężar gruntu nad przyczółkiem						
5.1	nad płytą wspornikową	-1,05	88	132	-92	-138	
5.2	Łączny ciężar własny przyczółka		515	644	-231	-305	-0,47
6	Obciążenie z przęsła						
6.1	- od ciężaru stałego	0,00	468	576	0	0	
6.2	- od obc.łumem	0,00	163	244	0	0	
6.3	Razem obciążenie z przęsła		631	820	0	0	
7	Łącznie		1146	1465	-231	-305	-0,21

2.4. OBCIĄŻENIE PRZYSZŁÓŁKA W KIERUNKU WZDŁUŻ PRZESŁA

szerokość ściany przyczółka	B =	4,20	m	
Wysokość korpusu	H =	2,41	m	
Wysokość ścianki czołowej	H1 =	1,67	m	
Wysokość parcia na ścianę przyczółka	Hk =	2,06	m	efekt przesłonięcia płytą odciażającą

2.4.1 Parcie gruntu nieobciążonego

parametry gruntu nasypowego: piasek średnioziarnisty			
ciężar piasku	$\rho =$	18,5	kN/m ³
kat tarcia wewnętrznego	$\varphi =$	33	stopnie
	$kn = (45 - \varphi / 2) =$	0,295	
współczynnik obciążenia	$\gamma =$	1,25	

Parcie gruntu na ścianę przyczółka

parcie jednostkowe	$z(h) =$	$18,5 \times 0,2948 \times 4,50 \times 1,25 \times h =$	28,6	* h	kN/m ²	
poziom 1 - 1 spód ścianki zaplecza	$h1 =$	1,67	m	$Z1 = 28,6 \times 1,67 \times 1,67 / 2 =$	39,9	kN
				$M1 = 39,9 \times 1,67 / 3 =$	22,2	kNm
poziom 2 - 2 spód przyczółka	$h2 =$	2,06	m	$Z2 = 39,9 + 2,06 \times 2,06 / 2 \times 28,6 =$	101	kN
				$M3 = 39,9 \times 2,41 + 2,06 \times 2,06 \times 2,06 / 6 \times 28,6 + 22,2 =$	160	kNm

2.4.2. Parcie gruntu obciążonego

Obciążenie tłumem	t =	4,00	kPa		
szerokość użytkowa	j =	4,0	m		
współczynnik obciążeń	γ =	1,5			
zastępcze obc.naziumu od obc.tłumu	q(k) =	4,00 x 4,00 x 1,50 =	24,00	kN/m	
parcia jednostkowe (dla k = 0,2948)					
- od obciążenia t	z(p) =	p x k =	7,08	kN/m	
poziom 1 - 1 spód ścianki zaplecza	h1 =	1,67 m			
		Z1(t) = 1,67 x 7,08 =	11,8	kN	
poziom 2 - 2 spód przyczółka	h2 =	3,50 m			
		Z2(t) = 3,50 x 7,08 =	24,8	kN	
Moment od parcia gruntu obciążonego					
poziom 1 - 1 spód ścianki zaplecza	h1 =	1,67 m	M1(n) = Z1(t) x h1 / 2 =	10	kNm
poziom 2 - 2 spód przyczółka	h2 =	3,50 m	M2(n) = Z2(t) x h2 / 2 =	43	kNm

2.4.3. Siła oporu w łożyskach elastomerowych

Siła oporu w łożyskach elastomerowych	$T \uparrow =$	46,9	kN	
Moment na przyczółek od siły hamowania	$h \uparrow =$	2,47	m	odl.łożysk od spodu korpusu
Poziom spodu ławy fund.	$M4 T \uparrow = 2,47 \times 46,9 =$	116	kNm	

2.5. Zestawienie obciążeń w poziomie spodu korpusu (poz.2 - 2) i schematy obciążenia

Lp	Rodzaj obciążenia przyczółek - podpora 1	kierunek wzdłuż mostu		Kierunek prostopadły		tabela 4 siły pionowe V
		siła Hx [kN]	moment Mx [kNm]	siła Hy [kN]	moment My [kNm]	[kN]
1	2	3	4	5	6	7
1	ciężar własny przyczółka		-305		0	644
2	ciężar własny prześła		0		130	576
3	obc. tłumem na prześle		0		49	244
4	Pracie gruntu					
5	nieobciążonego	101	160			
6	-obciążonego	25	43			
7	- opory w łożyskach elastomerowych	47	116			
Schemat 1						
I	Przęsło obciążone Naziem nieobciążony	148	-29		179	1465
Schemat 2						
II	Przęsło nieobciążone Naziem obciążony	172	15		130	1221
Schemat 3						
III	przyczółek nieobsypany - bez prześła	0	-305		0	512

2.6. Palowanie

ilość pali żelbetonowych w ławie	n = 2	szt.			
średnica pala	D = 0,90	m			
Długość pala	L p = 7,50	m	w przyczółku nr 1	Gp = 143	kN
	Lp = 6,00	m	w przyczółku nr 4	Gp = 115	kN
Pole pala	A = 0,636	m ²			
	Wx = 0,0716	m ³			

Siły wewnętrzne w palach przyczółka obliczono wg programu własnego "Pal" (bez ciężaru pala)

2.6.1. Pale w przyczółku nr 1 i nr 4

								tabela 5	
L.p.	Numer schematu obciążenia podpory	Siły pionowe w palach		Moment w palu			Naciski pod stopą pala		
		min V1 MN	max V2 MN	w trzonie Mx MNm	Głębokość hx m	w stopie Mp MNm	dla V1 MPa	dla V2 MPa	
Przyczółek nr 1 - pale długości L=7,50m									
1	schemat 1	0,7062	0,8168	0,20391	4,50	0,16773	3,45 -1,23	3,63 -1,06	
2	Schemat 2	0,5993	0,6797	0,23574	4,50	0,19465	3,66 -1,78	3,79 -1,65	
3	Schemat 3	0,2710	0,2710	0,15450	0,00	0,01512	0,64 0,21		
Przyczółek nr 4 - pale długości L=6,00m									
4	schemat 1	0,7096	0,8134	0,23466	6,00	0,23466	4,39 -2,16	4,56 -2,00	
5	Schemat 2	0,6018	0,6772	0,27197	6,00	0,27197	4,75 -2,85	4,86 -2,74	
6	Schemat 3	0,2710	0,2710	0,15450	0,00	0,05524	1,20 -0,35		

Naciski od ciężaru własnego pala

dla pala w przyczółku nr 1	$\Delta \sigma = 143 / 0,636 =$	225,00 kPa	=	0,23	MPa
dla pala w przyczółku nr 4	$\Delta \sigma = 115 / 0,636 =$	180,00 kPa	=	0,18	MPa

Nośność pali opartych w skale miękkiej o wytrzymałości na ściskanie $1 < R_c < 5$ MPa określono wg "Wytycznych Techn.- Budowlanych projektowania i wykonania pali wielkośrednicowych w obiektach mostowych" wyd. Min. Komunikacji 1975r

Dop. nacisk na skalę miękką pod stopą pala pograżonego na głębokość				R =	6,0	MPa	dla obc.charakt.
nr 1	hg =	2,1	m (wg rys.)	hg / D =	2,3	$\sigma_{gr} =$	5,3 MPa
nr 4	hg =	3,4	m (wg rys.)	hg / D =	3,8	$\sigma_{gr} =$	6,4 MPa
współczynnik bezpieczeństwa				$\eta =$	1,62		
dopuszczalne naciski pod stopą pala przyczółka nr 1				$\sigma_{gr}' =$	3,27	MPa	
dopuszczalne naciski pod stopą pala przyczółka nr 4				$\sigma_{gr}' =$	3,95	MPa	
max.nacisk obliczeniowy pod stopą pala przycz. Nr 1 wynosi				$\sigma_{max} =$	3,79 + 0,23 =	4,01	MPa
max.nacisk obliczeniowy pod stopą pala przycz. Nr 4 wynosi				$\sigma_{max} =$	4,86 + 0,18 =	5,04	MPa
i odpowiednio nacisk od obciążeń charakterystycznych przy				$\gamma =$	1,28		
- przyczółek nr 1				$\sigma_{r1} \text{ max} =$	4,01/1,28 =	3,14	MPa
- przyczółek nr 4				$\sigma_{r4} \text{ max} =$	5,04/1,28 =	3,95	MPa
Osiowa nośność pala w przyczółku nr 1				N =	0,636 x 3,27 =	2,081	MN
Osiowa nośność pala w przyczółku nr 4				N =	0,636 x 3,95 =	2,513	MN
Przyjęte długości i średnice pali spełniają warunki wytrzymałościowe .							

Przyjęte długości i średnice pali spełniają warunki wytrzymałościowe .

2.7. Wymiarowanie przyczółka
2.7.1 Korpus
Przekrój mimośrodowo ściskany- duży mimośród
kierunek obciążenia X

V = 512 kN schemat nr 3
Mx = 305 kNm
e = Mx / R = 0,595 m
b = 420 cm
a = 5 cm
h = 120,00 cm
h1 = 115 cm
e / h1 = 0,52 > 0,46 duży mimośród
Fz = 31,7 cm2 ϕ 12 co 15 cm
c = h/2 - e = 55-58,4 = 0,5 cm
n=Ea/Eb = 15
A = 3 x c = 1,63
B = 6x15/450x6,28x(110+2x3,4)= 807
C = 6x15x20,7/450*(105*105+5*5+3,4x110) = 89471

x = 38,3	x*x*x 56182	A*x*x 2395	B *x 30906	L 89482	P = C 89471
K = b*x/2+n*Fz*(2-h/x) = 7505				=	0,750 m2
$\sigma_b = V / K =$					
$\sigma_b = 0,7$	MPa				
$\sigma_a = 21$	MPa				

czyste zginanie ściany Mx = 305 kNm schemat 3

b = 420 cm
h = 120,00 cm
a = 5 cm
h1 = 115 cm
n = 15
Fa = 31,67 cm2
X = 15,04 cm
Z = 109,99 cm
 $\sigma_b = 0,9$ MPa
 $\sigma_a = 87$ MPa

Przyjęto zbrojenie konstrukcyjne fz min = 105x100x0,002 = 21 cm2/mb ϕ 16 co 15 cm 31,7 cm2/m

Kierunek obciążenia Y

My = 179 kNm
h = 420 cm b = 120 cm
a = 5 cm h1 = 415 cm
Fz = 9,048 cm2
n = 15
x = 30 cm
z = 405 cm
 $\sigma_b = 0,2$ MPa
 $\sigma_a = 49$ MPa

2.7.2 Skrzydła trójkątne - podwieszone (1,50 x 1,50 m)

L = H = 1,85 m
h = b = 1,50 m

Parcie gruntu do poziomu spodu płyt przejściowych jest równe p = 0 (przestłonięte betonem)

Parcie jednostkowe gruntu na skrzydła poniżej płyt przejściowych
Parcie jednostkowe p(z) = 18,5 x 1,25 x 0,295 * z = 6,82 * z

Parcie gruntu nieobciążonego

							tabela 6
LP	Pasma obliczeniowe skrzydełka	długość pasma L m	odl.od ściany ei m	wys.pasma si m	Odl.środkapasma od góry Hi m	Parcie gruntu nieobc. Z=6,82*H*L*si kN	Moment M=Z * ei kNm
	pasmo nr 1	2,400	1,2	1,000	0,500	8,19	9,82
	pasmo nr 2	1,3125	0,65625	0,375	1,1875	3,99	2,62
	pasmo nr 3	0,9375	0,46875	0,375	1,5625	3,75	1,76
	pasmo nr 4	0,5625	0,28125	0,375	1,9375	2,79	0,78
	pasmo nr 5	0,1875	0,09375	0,375	2,3125	1,11	0,10
	moment zamocowania skrzydeł w ścianie						M(n) = 15,08

Parcie gruntu obciążonego

Obciążenie tłumem

parcie jednostkowe od obc.tłumem

p = 4,00 x 1,50 x 0,295 = 1,77 kPa

								tabela 7
LP	Pasma obliczeniowe skrzydełka	długość pasma L m	odl.od ściany ei m	wys.pasma si m	Odl.środkapasma od góry Hi m	Parcie gruntu obciążon. Z=1,77*L*s/2 kN	Moment M= Z * ei kNm	Moment łączny grunt obc.i nieobc kNm
	pasmo nr 1	2,400	1,2	1,000	0,500	2,12	2,55	12,37
	pasmo nr 2	1,3125	0,656	0,375	1,1875	1,38	0,91	3,52
	pasmo nr 3	0,9375	0,469	0,375	1,5625	0,97	0,46	2,21
	pasmo nr 4	0,5625	0,281	0,375	1,9375	1,93	0,54	1,33
	pasmo nr 5	0,1875	0,09375	0,375	2,3125	0,16	0,02	0,12
	moment zamocowania skrzydeł w ścianie						M(o) = 4,47	19,55

wysokość zamocowania skrzydeł w ścianie zapleczonej		w =	1,09	m	2 pasma
Moment od pasm 1 + 2		$M(s) = M(n) + M(o) =$	28,33	kNm	
sprowadzony moment dla pasma szer. 1,00m		$M(1) = 28,33 / 1,09 =$	25,99	kNm/m	
wymiary ścianki	grubość	h =	25	cm	
	otulina bet.	a =	5	cm	
		$h1 = h - a =$	20	cm	
		b =	100	cm	
		n =	15		
przyjęto zbrojenie A-II (18G2-b)	Φ 12 co 15cm	Fa =	7,54	cm ² /m	poziome
co 15cm - pionowo					
		X =	2,9	cm	
		Z =	19,0	cm	
Naprężenia w przekroju					
- w betonie	$\sigma b = 2M / b / X / Z =$	9,5	MPa	< 17,3 MPa	
- w stali zbrojeniowej	$\sigma a = M / Fa / Z =$	181,0	MPa	< 285 MPa	

2.7.3. Wspornik odcinający za przyczółkiem

Obciążenia wspornika					
- od ciężaru własnego	$R1g = (0,30 \times 25,0 + 1,25 \times 18,5) \times 4,00 \times 1,20 =$	183,75	kN		
- od obc. tłumem	$R1s = 0,90 \times 4,00 \times 4,0 \times 1,250 =$	41,7	kN/m		
wysięg wspornika	a =	0,90	m		
Moment w przekroju wspornika	$M = (R1g + R1s) \times a / 2 =$	101,5	kNm	na szer. 4,0 m	
Wymiarowanie wspornika					
wymiary ścianki	grubość	h =	35	cm	
	otulina bet.	a =	5	cm	
		$h1 = h - a =$	30	cm	
		b =	400	cm	
		n =	15		
przyjęto zbrojenie A-II (18G2-b)	Φ 12 co 20 cm	Fa =	22,6	cm ² /m	
		X =	8,3	cm	
		Z =	27,2	cm	
Naprężenia w przekroju					
- w betonie	$\sigma b = 2M / b / X / Z =$	2,2	MPa	< 17,3 MPa	
- w stali zbrojeniowej	$\sigma a = M / Fa / Z =$	165	MPa	< 285 MPa	

2.7.4. Ścianka zaplecza

Moment od parcia gruntu	M =	32,1	kNm		
	h =	25	cm		
	a =	4	cm		
Wymagany przekrój zbrojenia	$Fz = 0,0321 / 0,21 / 0,85 / 295 =$			h1 =	21
Przyjęto Fz min = 100x25x0,002 =	5,0	cm ² /m	Φ 12 co 15	F z =	6,09
					7,54
					cm ² /m

Obliczył:

mgr inż. Tadeusz Mazurek

Sprawdził :

mgr inż. Grzegorz Rakowski

Lublin, październik 2015r